

ソフトウェア自動チューニング技術 の最新動向

～マルチコア、ヘテロジニアス、
10万並列な環境に向けた
新しい最適化技術～

東京大学情報基盤センター
片桐孝洋

2009年6月26日（金）16時00分～17時00分
第9回ANS研究会、京都大学情報メディアセンター北館3階講習室

1

本資料の置場

- 以下においてありますので、
ご興味があればご利用ください。

[http://www.abc-lib.org/MyHTML/
paper/ANS9-20090626.pdf](http://www.abc-lib.org/MyHTML/paper/ANS9-20090626.pdf)

2

講師紹介

学歴

- 1994年3月国立豊田工業高等専門学校情報工学科卒
◦ 研究室配属：井口健 研究室
◦ 準学士論文：QR法における収束の加速とQR分解の高速化
- 1994年4月京都大学工学部情報工学科3年編入
- 1996年3月同卒
◦ 研究室記属：富田 研究室
◦ 学士論文：分散メモリ型並列計算機によるHouseholder法の性能評価
- 1996年4月東京大学大学院理学系研究科情報科学専攻
- 研究室配属：金田 研究室
◦ 博士論文：A Study on Large Scale Eigensolvers for Distributed Memory Parallel Machines
- 2001年3月同修了、博士（理学）
- 2001年4月東京大学大学院理学系研究科情報科学専攻
- 研究室記属：金田 研究室
◦ 博士論文：並列固有値ソルバ (GMRES法)
- 参考資料（電子配布）
- 第一部：ソフトウェア自動チューニング概論
 - 數理からみた自動チューニングとは
 - 計算機システムからみた自動チューニングとは
- 第二部：自動チューニング機能付き数値計算ライブラリ
 - 密行列固有値ソルバ関連（Householder三重対角化、QR分解）
 - 疎行列連立一次方程式ソルバ (GMRES法)
- 第三部：自動チューニング記述用計算機言語
 - ABClispScript (日本発／初のAT言語、AT研究成果物の一つ、ある意味世界の先駆け)
 - 行列積計算に対するABCLispScriptのデモンストレーション
- 第四部：超並列固有値解析アルゴリズム
 - 並列固有値ソルバ (逆反復法、MRRR法、dqds法)

3

講演内容

- 第一部：ソフトウェア自動チューニング概論
 - 數理からみた自動チューニングとは
 - 計算機システムからみた自動チューニングとは
- 第二部：自動チューニング機能付き数値計算ライブラリ
 - 密行列固有値ソルバ関連（Householder三重対角化、QR分解）
 - 疎行列連立一次方程式ソルバ (GMRES法)
- 第三部：自動チューニング記述用計算機言語
 - ABClispScript (日本発／初のAT言語、AT研究成果物の一つ、ある意味世界の先駆け)
 - 行列積計算に対するABCLispScriptのデモンストレーション
- 第四部：超並列固有値解析アルゴリズム
 - 並列固有値ソルバ (逆反復法、MRRR法、dqds法)

4

講演内容

第一部：ソフトウェア自動チューニング概論

- 数理からみた自動チューニングとは
- 計算機システムからみた自動チューニングとは

第二部：自動チューニング機能付き数値計算ライブラリ

- 密行列固有値ソルバ関連（Householder三重対角化、QR分解）
- 疎行列連立一次方程式ソルバ（GMRES法）

5

第一部 自動チューニング概論

- ソフトウェアエンジニアリング概論
- 数理、計算機システム、計算機言語、アプリケーション全般におよぶ先進的最適化技術

6

本題に入る前に

- 行列計算に必須のコード最適化技法
- ループアンローリング、ブロック化アルゴリズム、並列化に向くアルゴリズム～

SIAMのWEBページ:
<http://sinews.siam.org/old-issues/2008/june-2008/>

自動チューニング研究の普及



- 米国応用数理学会員に配達される新聞
- SIAM NEWS 2008年6月

◦ 国際会議PP08@アトランタ（2008年3月）のOTSが特集記事で紹介

◦ 日本人研究者8名

- 片桐、黒田、中島（東大基盤センター）、櫻高須（日立）、高橋（筑波大）、今村（東大）、富田（電通大）、宮田（名大）

- PP08: Automatic Tuning of High-Performance Numerical Libraries: State of the Art and Open Problems

SIAMのWEBページ:

8

最近の計算機のメモリ階層構造



ループアンローリングの例 (行列-行列積、Fortran言語)

普通のコード (ijkループ)

```
do i=1,n
    do j=1,n
        do k=1,n
            C(i,j) = C(i,j) + A(i,k) * B(k,j)
        enddo
    enddo
enddo
```

- ijkの3重ループは交換できる

▲ 6通りの組み合わせ

- ループによりアクセスマターンが違うので性能が異なる
- ▲ バターンがよいときは計算機アーキテクチャ依存 (実装の違いがく性能パラメタ)

10

ループアンローリングの例 (行列-行列積、Fortran言語)

i-ループおよびj-ループ 2段展開 (nが2で割り切れる場合)

```
do i=1,n,2
    do j=1,n,2
        do k=1,n
            C(i,j) = C(i,j) + A(i,k) * B(k,j)
            C(i,j+1) = C(i,j+1) + A(i,j+1,k) * B(k,j+1)
            C(i+1,j) = C(i+1,j) + A(i+1,k) * B(k,j)
            C(i+1,j+1) = C(i+1,j+1) + A(i+1,j+1,k) * B(k,j+1)
        enddo; enddo; enddo;
```

- $A(i,j), A(i+1,k), B(k,j), B(k,j+1)$ をレジスタに置き高速化
- 何段が最適かは計算機依存 (段数がく性能パラメタ)

ブロック化とは

- キャッシュを利用するアルゴリズム
- データを局所的に参照するように変更
- データがキャッシュに乗ることで高速化

例：行列積

通常：

ブロック化：

キャッシュに乗るサイズで分割して計算

Nが大きくなると
キャッシュからはずれ
性能低下

- A(i,j), A(i+1,k), B(k,j), B(k,j+1) をレジスタに置き高速化
- 何段が最適かは計算機依存 (段数がく性能パラメタ)

- A(i,j), A(i+1,k), B(k,j), B(k,j+1) をレジスタに置き高速化
- 何段が最適かは計算機依存 (段数がく性能パラメタ)

- A(i,j), A(i+1,k), B(k,j), B(k,j+1) をレジスタに置き高速化
- 何段が最適かは計算機依存 (段数がく性能パラメタ)

行列-行列積のブロック化のコード (Fortran言語)

- m がブロック幅 ($m=16$) で割り切れるとき、以下の6重ループコードになる

```

m = 16
do ib= 1 ,n,m
  do jb= 1 ,n,m
    do kb= 1 ,n,m
      do i=ib, ib+m-1
        do j=jb, jb+m-1
          do k=kb, kb+m-1
            C(i,j) = C(i,j) + A(i,k) * B(k,j)
          enddo; enddo; enddo; enddo;
        enddo
      enddo
    enddo
  enddo
enddo

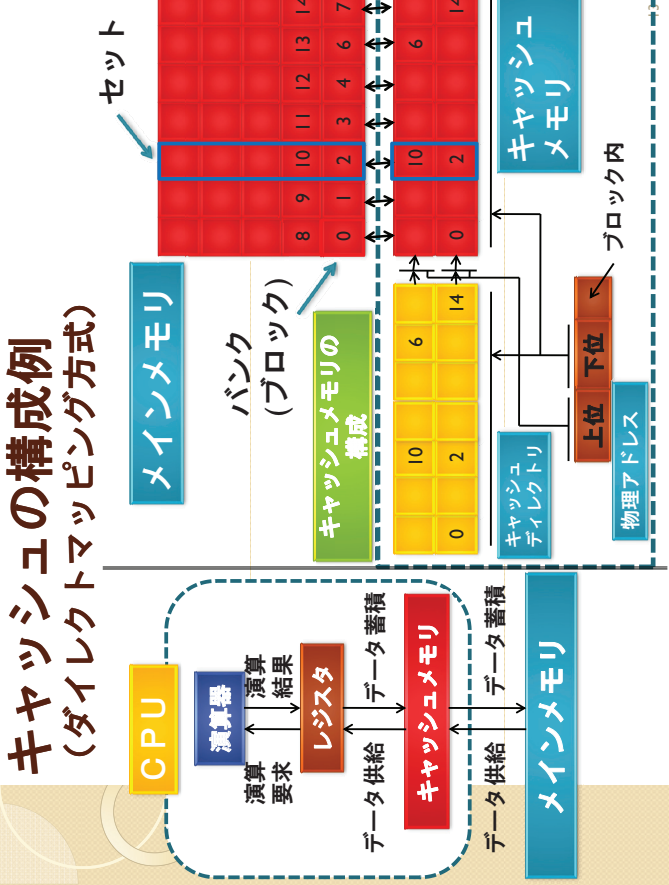
```

14

→ ブロック幅 (計算機依存<性能/パラメタ>)

→ ブロック幅ごとに進むループ

→ ブロック内に局所アクセスされた演算ループ



行列計算との関連

- 先ほどどの行列 - 行列積はコード変換レベル
- 行列計算アルゴリズムでは、

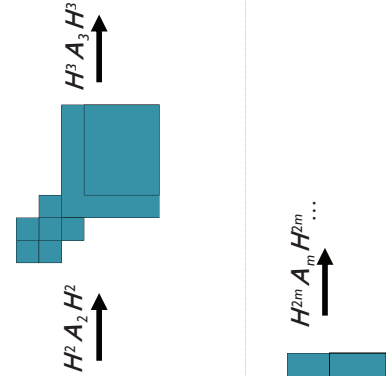
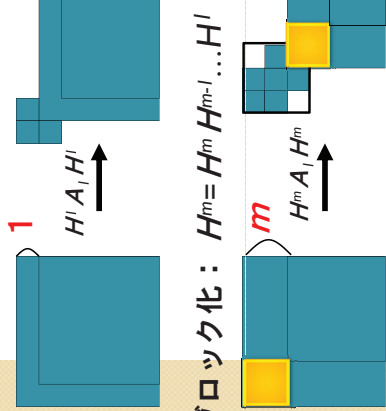
変換行列を複数まとめる

ことで、別アルゴリズムとして実現する

- <ブロック化>アルゴリズム
- LAPACKで採用されている方式

固有値計算におけるブロック化

- Householder変換、QR分解などで利用
- 複数の消去演算をまとめてブロック化
- 主要演算部分 : BLAS2 (行列 - ベクトル積) → BLAS3 (行列 - 行列積)



メインメモリアクセス削減手法

- メインメモリ→レジスタへのデータ供給は時間がかかる
- 行列Aのメインメモリからのデータ供給量を減らすため

行列消去演算と、次の消去時での演算を行なう。

方法が古くから知られている。

- 行列消去演算と、次のステップの行列ベクトル積($y = \alpha A u$)を同ループ中に書く
- 行列Aのメインメモリからのアクセス量が減る
- 先行処理、並列化時にも通信時間が削減
- “ Wilkinsonの技巧” [Wilkinson, 65][村上, 2009]

17

Householder三重対角化のWilkinsonの技巧

- 第 k 反復時の行列 A を $A^{(k)}$ と書く
 u : 枢軸ベクトル

do $k = 1, n - 2$

$A^{(k)}$ $\rightarrow (u, \alpha)$

$$\mu = \alpha u^T x$$

$$x = \boxed{\alpha A^{(k)} u}$$

$$\boxed{A^{(k+1)}} = A^{(k)} + xu^T + u(\mu u^T - x^T)$$

enddo

同ループ中で行列Aの要素が計算され次第、次のループの行列ベクトル積をする

再直交化処理の並列化

Gram-Schmidtの直交化方式

- 固有ベクトル i 番目を固有ベクトル $1 \sim i-1$ 番目 $\hat{v}_1, \hat{v}_2, \dots, \hat{v}_{i-1}$ と
<再>直交化させるとき

$$v_i = \hat{v}_i - \sum_{k=1}^{i-1} (\hat{v}_k, \hat{v}_i) \hat{v}_k$$

逐次処理では考慮しないが
→ 実装方式により並列性が無くなる

再直交化処理の実装 (MG-S)

Modified Gram-Schmidt (修正G-S)法

$$\begin{aligned} t_1 &= \hat{v}_i - (\hat{v}_1, \hat{v}_i) \hat{v}_1 \\ t_2 &= t_1 - (\hat{v}_2, t_1) \hat{v}_2 \\ \dots & \\ v_i &= t_{i-1} - (v_{i-1}, t_{i-1}) \hat{v}_{i-1} \end{aligned}$$

この式は、明らかに流れ依存がある
→ 並列化できない

再直交化処理の実装(CG-S)法

- Classical Gram-Schmidt (古典G-S) 法

$$\begin{aligned} t_1 &= \hat{v}_i - (\hat{v}_1, \hat{v}_i) \hat{v}_1 \\ t_2 &= -(\hat{v}_2, \hat{v}_i) \hat{v}_2 \\ &\dots \\ t_{i-1} &= -(\hat{v}_{i-1}, \hat{v}_i) \hat{v}_{i-1} \end{aligned}$$

t_1, t_2, \dots, t_{i-1} の計算に関して並列性がある

しかし精度の点で修正G-S法に劣る場合がある
→速度と精度のトレードオフ

自動チューニング機構とは

- 計算機アーキテクチャ
- 計算機システム



- プログラム・アルゴリズム
- プログラム・アルゴリズム



自動チューニング技術の鳥瞰図



ソフトウェア自動チューニングのソフトウェア工学的観点

コード生成

```
do i=1,n
  do j=1,n
    do k=1,n
      C(i,j,k)=0
      do l=1,n
        C(i,j,k)=C(i,j,k)+A(i,l)*B(l,k)
      enddo
      C(i,j,k)=C(i,j,k)+C(j,i,k)
      do m=1,n
        C(i,j,k)=C(i,j,k)+A(m,i)*B(i,m)
      enddo
      C(i,j,k)=C(i,j,k)+C(i,i,k)
    enddo
    C(i,j,k)=C(i,j,k)+C(j,j,k)
  enddo
  C(i,j,k)=C(i,j,k)+C(i,i,k)
enddo
```

2. プログラミング フェーズ

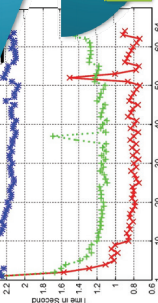
```
IABCBL5 install unroll(i,k) region start
IABCBL5 name MyModule
IABCBL5 vardecl(i,j) from 1 to 8
do i=1,n
  do j=1,n
    do l=1,n
      do m=1,n
        C(i,j,k)=C(i,j,k)+A(i,l)*B(l,k)
      enddo
      C(i,j,k)=C(i,j,k)+C(j,i,k)
      do n=1,n
        C(i,j,k)=C(i,j,k)+A(m,i)*B(i,m)
      enddo
      C(i,j,k)=C(i,j,k)+C(i,i,k)
    enddo
    C(i,j,k)=C(i,j,k)+C(j,j,k)
  enddo
  C(i,j,k)=C(i,j,k)+C(i,i,k)
enddo
```

1. 仕様策定フェーズ

チューニングベース
チューニング知識
データベース

3. 最適化フェーズ

コンパイルと実行



4. データベース化とチューニング知識探索フェーズ

```
IABCBL5 install unroll(i,k) region start
IABCBL5 name MyModule
IABCBL5 vardecl(i,j) from 1 to 8
do i=1,n
  do j=1,n
    do l=1,n
      do m=1,n
        C(i,j,k)=C(i,j,k)+A(i,l)*B(l,k)
      enddo
      C(i,j,k)=C(i,j,k)+C(j,i,k)
      do n=1,n
        C(i,j,k)=C(i,j,k)+A(m,i)*B(i,m)
      enddo
      C(i,j,k)=C(i,j,k)+C(i,i,k)
    enddo
    C(i,j,k)=C(i,j,k)+C(j,j,k)
  enddo
  C(i,j,k)=C(i,j,k)+C(i,i,k)
enddo
```

対象計算機

チューニングベース
チューニング知識
データベース

コード生成

```
do i=1,n
  do j=1,n
    do k=1,n
      C(i,j,k)=0
      do l=1,n
        C(i,j,k)=C(i,j,k)+A(i,l)*B(l,k)
      enddo
      C(i,j,k)=C(i,j,k)+C(j,i,k)
      do m=1,n
        C(i,j,k)=C(i,j,k)+A(m,i)*B(i,m)
      enddo
      C(i,j,k)=C(i,j,k)+C(i,i,k)
    enddo
    C(i,j,k)=C(i,j,k)+C(j,j,k)
  enddo
  C(i,j,k)=C(i,j,k)+C(i,i,k)
enddo
```

2. プログラミング フェーズ

```
IABCBL5 install unroll(i,k) region start
IABCBL5 name MyModule
IABCBL5 vardecl(i,j) from 1 to 8
do i=1,n
  do j=1,n
    do l=1,n
      do m=1,n
        C(i,j,k)=C(i,j,k)+A(i,l)*B(l,k)
      enddo
      C(i,j,k)=C(i,j,k)+C(j,i,k)
      do n=1,n
        C(i,j,k)=C(i,j,k)+A(m,i)*B(i,m)
      enddo
      C(i,j,k)=C(i,j,k)+C(i,i,k)
    enddo
    C(i,j,k)=C(i,j,k)+C(j,j,k)
  enddo
  C(i,j,k)=C(i,j,k)+C(i,i,k)
enddo
```

1. 仕様策定フェーズ

チューニングベース
チューニング知識
データベース

実行結果の解析

```
do i=1,n
  do j=1,n
    do k=1,n
      C(i,j,k)=0
      do l=1,n
        C(i,j,k)=C(i,j,k)+A(i,l)*B(l,k)
      enddo
      C(i,j,k)=C(i,j,k)+C(j,i,k)
      do m=1,n
        C(i,j,k)=C(i,j,k)+A(m,i)*B(i,m)
      enddo
      C(i,j,k)=C(i,j,k)+C(i,i,k)
    enddo
    C(i,j,k)=C(i,j,k)+C(j,j,k)
  enddo
  C(i,j,k)=C(i,j,k)+C(i,i,k)
enddo
```

対象計算機

```
IABCBL5 install unroll(i,k) region start
IABCBL5 name MyModule
IABCBL5 vardecl(i,j) from 1 to 8
do i=1,n
  do j=1,n
    do l=1,n
      do m=1,n
        C(i,j,k)=C(i,j,k)+A(i,l)*B(l,k)
      enddo
      C(i,j,k)=C(i,j,k)+C(j,i,k)
      do n=1,n
        C(i,j,k)=C(i,j,k)+A(m,i)*B(i,m)
      enddo
      C(i,j,k)=C(i,j,k)+C(i,i,k)
    enddo
    C(i,j,k)=C(i,j,k)+C(j,j,k)
  enddo
  C(i,j,k)=C(i,j,k)+C(i,i,k)
enddo
```

実行結果の解析

チューニングベース
チューニング知識
データベース

3. 最適化フェーズ

```
do i=1,n
  do j=1,n
    do k=1,n
      C(i,j,k)=0
      do l=1,n
        C(i,j,k)=C(i,j,k)+A(i,l)*B(l,k)
      enddo
      C(i,j,k)=C(i,j,k)+C(j,i,k)
      do m=1,n
        C(i,j,k)=C(i,j,k)+A(m,i)*B(i,m)
      enddo
      C(i,j,k)=C(i,j,k)+C(i,i,k)
    enddo
    C(i,j,k)=C(i,j,k)+C(j,j,k)
  enddo
  C(i,j,k)=C(i,j,k)+C(i,i,k)
enddo
```

2. プログラミング フェーズ

```
IABCBL5 install unroll(i,k) region start
IABCBL5 name MyModule
IABCBL5 vardecl(i,j) from 1 to 8
do i=1,n
  do j=1,n
    do l=1,n
      do m=1,n
        C(i,j,k)=C(i,j,k)+A(i,l)*B(l,k)
      enddo
      C(i,j,k)=C(i,j,k)+C(j,i,k)
      do n=1,n
        C(i,j,k)=C(i,j,k)+A(m,i)*B(i,m)
      enddo
      C(i,j,k)=C(i,j,k)+C(i,i,k)
    enddo
    C(i,j,k)=C(i,j,k)+C(j,j,k)
  enddo
  C(i,j,k)=C(i,j,k)+C(i,i,k)
enddo
```

1. 仕様策定フェーズ

チューニングベース
チューニング知識
データベース

コード生成

```
do i=1,n
  do j=1,n
    do k=1,n
      C(i,j,k)=0
      do l=1,n
        C(i,j,k)=C(i,j,k)+A(i,l)*B(l,k)
      enddo
      C(i,j,k)=C(i,j,k)+C(j,i,k)
      do m=1,n
        C(i,j,k)=C(i,j,k)+A(m,i)*B(i,m)
      enddo
      C(i,j,k)=C(i,j,k)+C(i,i,k)
    enddo
    C(i,j,k)=C(i,j,k)+C(j,j,k)
  enddo
  C(i,j,k)=C(i,j,k)+C(i,i,k)
enddo
```

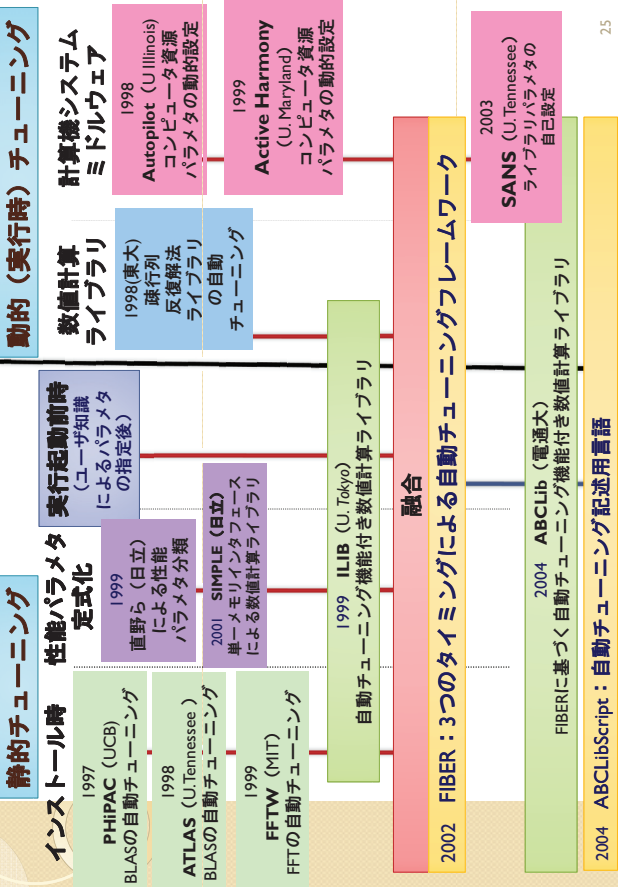
2. プログラミング フェーズ

```
IABCBL5 install unroll(i,k) region start
IABCBL5 name MyModule
IABCBL5 vardecl(i,j) from 1 to 8
do i=1,n
  do j=1,n
    do l=1,n
      do m=1,n
        C(i,j,k)=C(i,j,k)+A(i,l)*B(l,k)
      enddo
      C(i,j,k)=C(i,j,k)+C(j,i,k)
      do n=1,n
        C(i,j,k)=C(i,j,k)+A(m,i)*B(i,m)
      enddo
      C(i,j,k)=C(i,j,k)+C(i,i,k)
    enddo
    C(i,j,k)=C(i,j,k)+C(j,j,k)
  enddo
  C(i,j,k)=C(i,j,k)+C(i,i,k)
enddo
```

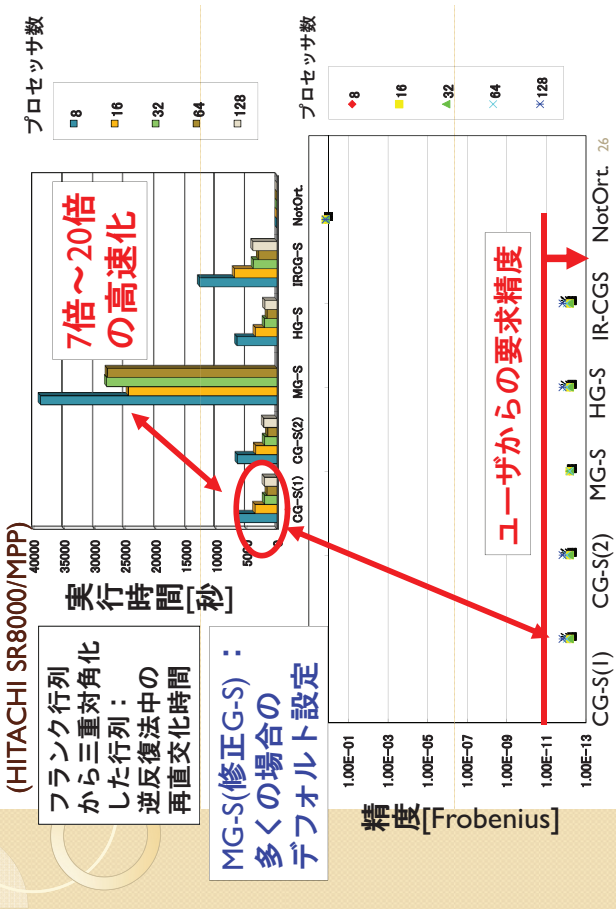
1. 仕様策定フェーズ

チューニングベース
チューニング知識
データベース

自動チューニング研究の分類 (~2004)

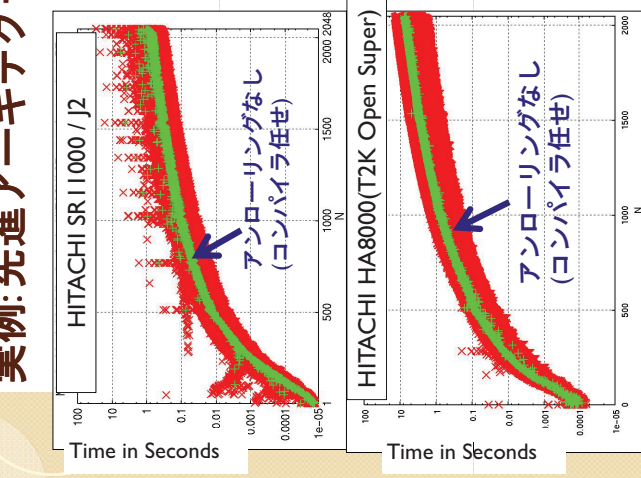


実例：実行時アルゴリズム選択



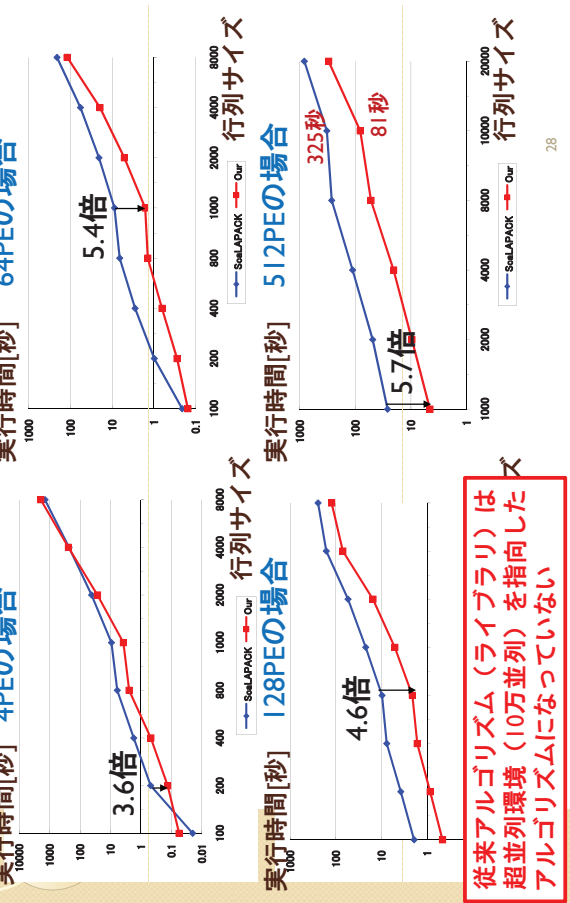
実例: 先進アーキテクチャによる不安定性

- 行列の行列一一行列積
 - BLASを用いていない単純コード
 - 3重ループ(i,j,k)、アンローリング1段～4段
 - ・次元Nに固し、 $4^{**}4=64$ 回繰り返す
 - ・1から2048次元まで1刻みのデータ
 - ・コンパイラ HITACHI Optimized Fortran90.
オオプロジョン:-OSS
 - ・自動並列化（ノード内）
 - ・計算機構成



実例：超並列アルゴリズムの構築と適応的選択

4PEの場合	実行時間[秒]	64PEの場合	実行時間[秒]
（上記）	1.0	（上記）	0.02



超並列環境（10万並列）を指向したアルゴリズムになっていない

数理からみた自動チューニングとは

- 問題の抽象化
 - ソフトウェアが自分自身を環境に応じて適応させる
 - 環境／ソフトウェア内部に制御変数（チューニングパラメタ）がある
 - パラメタ値は、連続的、離散的どちらもある
- 試行
 - 実験的な実行
 - 実用的なソフトウェア利用
- モデル
 - パラメタを変化させると、どのように性能が変化するかの近似関数（目的関数）
- フィットティング
 - モデルにおける未知変数を試行結果により推定し、最適化すること
- チューニングの物理モデル
 - ソフトウェアの性能を実施もしくは実施により測定し、与えられた環境に対し、目的関数を最適化する

須田礼仁：自動チューニングのためのBayes統計に基づく最適化手法、
計算工学講演会論文集、Vol.14、pp.179-182(2009年5月)

数理からみた自動チューニングとは

- Bayes逐次統計に基づくオンライン自動チューニング数理コア
 - オンライン自動チューニング
 - 試行による情報を利用しつつ、実施時に得られる履歴から将来的利用を推定しチューニングを行うこと
 - Bayes統計に基づくモーデリング
 - 不確定性の2要因
 - 搅乱要因による実測のばらつき
 - 事前情報の不完全性やフィッティングの誤差
 - Bayes統計の「事前分布」でモデルと誤差を表現
 - 測定結果による「事後分布」
 - 以上により、数理的に根拠のある手法の構築
- 準最適な逐次実験計画法
 - 「bandit problem」に帰着
 - 最適解は計算量が爆発する。少ない計算量で準最適な解を得る方法を提案。
- 安定したチューニング実現のための条件
 - 「分散成分問題」に帰着し、最適化を達成しない場合がある。
 - 「漸近最適性」
 - 「擾乱要因」>「モデル誤差」の場合モデル誤差がいど誤判定されるが、そういったならば無限に実験を繰り返す極端で最適になること
- 初期実験の有限性
 - 以下のようにならない性質
 - モデル誤差を過大に大きくると、最適化そのものができない
 - バラメタの取りうる値が大きすぎると、現実的でない
 - これらの性質を数理レベルで保障する

須田礼仁：自動チューニングのためのBayes統計に基づく最適化手法、
計算工学講演会論文集、Vol.14、pp.179-182(2009年5月)

計算機システムからみた自動チューニングとは

- 利用者（ユーザー）
 - マシン環境のハードウェア性能を、人手を介さず最大限に引き出すことを可能とするソフトウェア技術
- 事業者（ベンダ）
 - 新世代のマシン環境用応用ソフトウェアを、新たに開発することを不要にする方法論
- 技術者
 - プログラムを新しいマシン環境へ移植（写像）するとき、その過程で自動的に最適化を行う技術

弓場敏嗣：数値計算応用を対象とする自動性能チューニング技術、
電気通信大学紀要、Vol.20、No.1-2、pp.1-14 (2007)

計算機システムからみた自動チューニングの技術要求

- コンパイラできうこと
 - アンローリング段数調整
 - タイル（キャッシュ）サイズ調整
- コンパイラできないこと
 - 数値計算アルゴリズム選択
 - 数値計算精度を保証した上ででのアルゴリズム選択
 - 実行時ユーザ知識情報を活用した最適化
- ミドルウェアレベル
 - 通信ライブラリ（MPI）実装方式選択
 - 自動チューニングのタイミング
 - インストール時から<実行時>へ以下の方式研究が活発
 - 実行時の問題知識の自動抽出
 - 得られた知識の利用

計算機環境の変化

- マルチコアの浸透
 - 非均質メモリアクセス(ccNUMA)
 - 多階層化されたキヤッシュ構造
 - L1、L2は局所、L3は共有
 - チップ内のコア数の増大
 - ハイエンド：32コア～、ローエンド：8コア～
 - 並列実行モデルの変化
 - ピュアMPI
 - ハイブリッドMPI（OpenMP + MPI）
 - コンパイラでは手に負えない、
 - 手動チューニングはコスト高
 - コスト削減のため、実用的観点から、性能自動チューニング技術へ期待

33

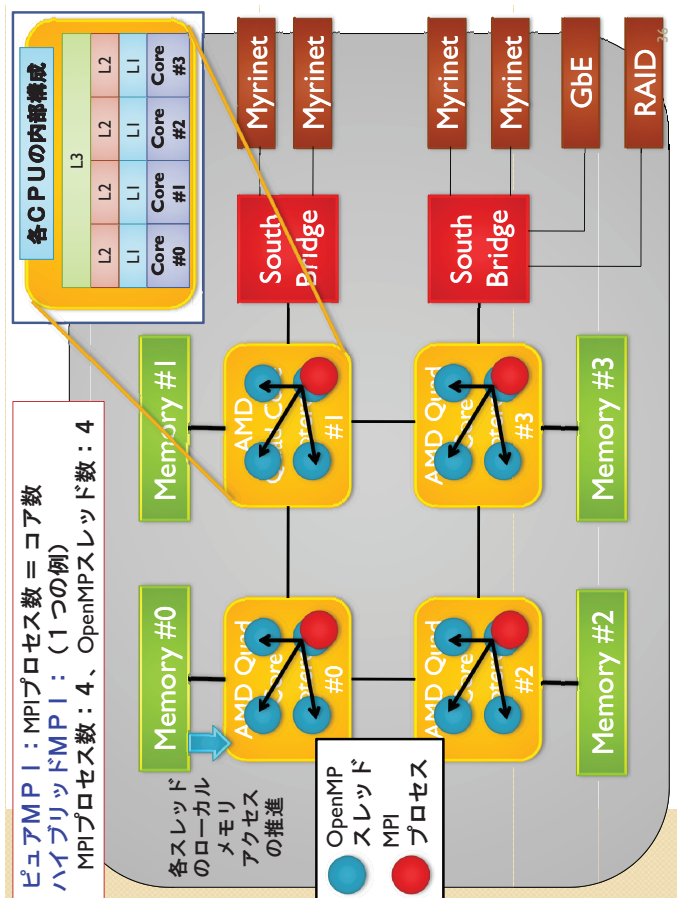
実例：T2Kオープンスーパーコンピュータ

(AMD Quad Core Opteron 2.3GHz)

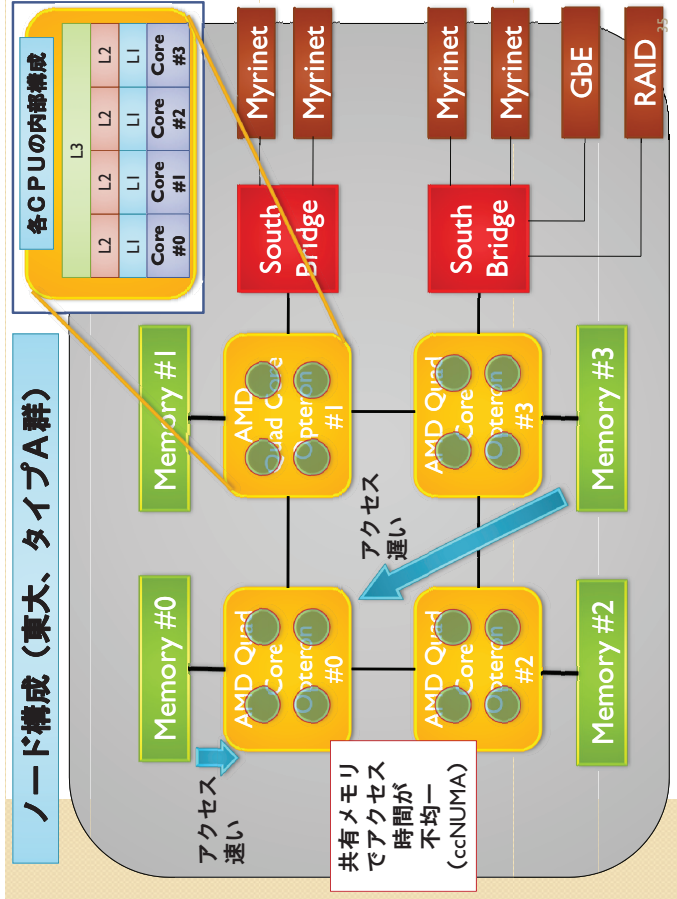
：東大、京大、筑波大に設置のスーパーコン

項目	値	説明
L1キヤッシュ	64 Kbytes (命令、データ、双方は分離)	
	2 Way Associativity (ライトバック、3サイクル)	
	キャッシュライン：64 bytes, LRU置換	
L1データTLB	Full Associativity	
L2キヤッシュ	2Mbyte Page:8エントリ, 4Kbyte Page:32エントリ	
L3キヤッシュ	512 Kbytes (2300 MHz)	
命令デコード	2048 Kbytes	
演算実行	3 Way (整数、アドレス生成、浮動小数点)	
SIMD命令実行	MMX, SSE, SSE2	
命令実行	乱発行乱終了(Out-of-order) 整数、浮動小数点	
レジスタ	● レガシーモード：汎用32bit: 8個、128bit-XMM:8個、	
	● 64bit MMX:8個 (x87互換用:8個と同一)	
	● 64bit モード：汎用64bit:16個、128bit-XMM:16個、	
システムバス	64bit MMX:8個 (x87互換用:8個と同一)	
	1000 MHz	

34

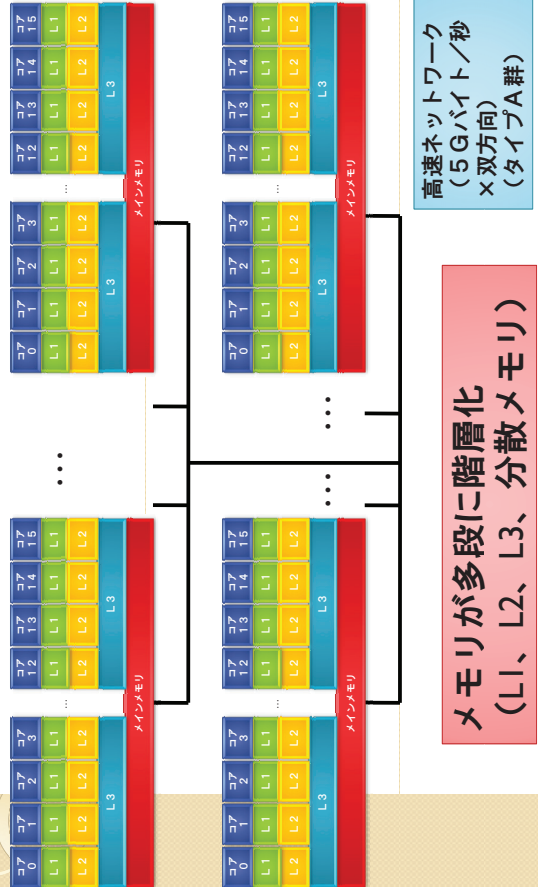


35



36

スパコンでの全体メモリ構成図



37

メモリが多段に階層化
(L1、L2、L3、分散メモリ)

38

講演内容

- 第一部：ソフトウェア自動チューニング概論
 - 数理からみた自動チューニングとは
 - 計算機システムからみた自動チューニングとは
- 第二部：自動チューニング機能付き数値計算ライブラリ

- 密行列固有値ソルバ関連 (Householder三重対角化、QR分解)
- 疎行列連立一次方程式ソルバ (GMRES法)

38

第二部 自動チューニング機能 自付数値計算ライブラリ

- チューニング作業不要な
先進的数値計算ライブラリ

密行列固有値ソルバ **ABCLIB_DRSSED**

39

40

固有値問題とは

- 標準固有値問題

$$Ax = \lambda x$$

x : 固有ベクトル λ : 固有値

応用分野

- 科学技術計算分野全般
- 量子化学分野（密行列、大部分の固有値・固有ベクトル）
- インターネット検索（知識発見） [M.Berryら, 1995]
- 密行列： $O(n^3)$ の計算量
 - 高速化（効率的な逐次実装、並列化）

41

ベンチマークとしての特徴

- 対称実数固有値ソルバ（ブロック化なし）

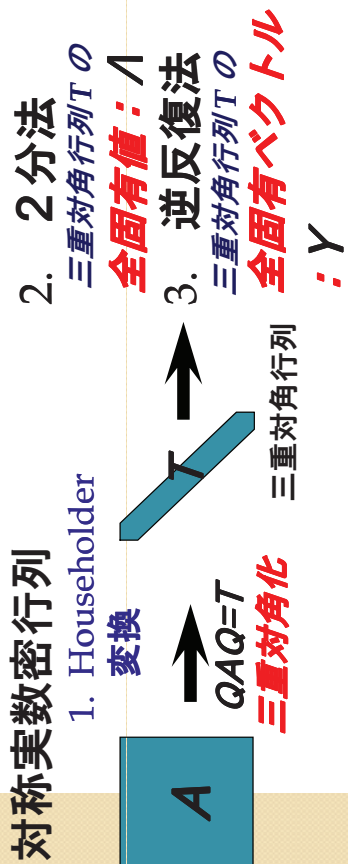
Householder三重対角化部（以降、TRD）

- BLAS 2: 實算性能評価
 - 行列-ベクトル積演算性能
 - 行列更新演算性能
 - マルチキャスト通信性能評価
 - プロセッサのグリッド ($P \times Q$) における、同時放送処理 P 個（從事プロセッサ数 Q 個）の性能
- Householder逆変換部（以降、HIT）
 - BLAS 1: 實算性能評価
 - 必要な固有ベクトルが必要なときは、BLAS 1 演算となる。
 - 全固有ベクトルが必須なときは、BLAS 2 演算となる。
 - Gather演算性能
- QR分解（ブロック化あり）注：再直交化ではない

修正 Gram-Schmidt 演算部（以降、MGSAO）

- BLAS3演算性能評価
 - 行列更新演算性能。ただし、最外ループの刻み幅はブロック幅となる。
 - 1 対 1 通信性能評価
 - 通信度がブロック幅の逆数で変化する。
 - 通信回数が、上記BLAS3のブロック幅の逆数となる実装における評価。
 - 両方とも、ベクトル（疑似ベクトル）計算機向き
 - 最内側ループ長が長い

固有値計算の古典的逐次アルゴリズム
(標準固有値問題 $Ax = \lambda x$)



42

並列Householder三重対角化アルゴリズム

3つの基本演算部分

```
<1> do k=1,n,2
<2>   if (k ∈ Γ) then
<3>     broadcast(AΠ,k(k)) to PE sharing
      rows Π
      columns Π
<4>   else
<5>     receive( uΠ(k) )
<6>   endif
<7>   computation of (uΠ(k), αΠ(k))
<8>   if (have diagonal elements of A)
      then
        broadcast(uΠ(k)) to PE sharing
        columns Π
<9>   broadcast(uΠ(k)) to PE sharing
        columns Π
<10> else
<11>   receive( uΠ(k+1) )
<12>   endif
<13> do i=k,n
<14>   if (j ∈ Γ) uΠ(k) = uΠ(k) + αAΠ,j(k)Vj
<15>   endif
<16>   global summation of uΠ to PE
      sharing rows Π
<17>   if (I have diagonal elements of A)
      then
        broadcast(uΠ(k)) to PE sharing
        rows Π
        columns Π
<18>   broadcast( uΠ(k) ) to PEs sharing
      columns Π
<19>   receive( uΓ(k) )
<20>   <21>
<22>   do i=k,n
      μ = αuΠTxΠ enddo
<23>   μ = auΠTxΠ enddo
<24>   global summation of μ to
      PEs sharing rows Π
<25>   do i=k,n
<26>     Ai,j(k+1) = Ai,j(k+1) - vi(xΠ(k) - μvj(k)) - xΠTvj
<27>   if (i ∈ Π) and, i ∈ Γ) then
<28>     Ai,j(k+1) = Ai,j(k+1) - vi(xΠ(k) - μvj(k)) - xΠTvj
<29>   endif enddo enddo
<30>   if (k ∈ Γ) Γ = Γ - {k}
<31>   if (k ∈ Π) Π = Π - {k}
<32> enddo
```

43



44

並列Householder逆変換アルゴリズム

```

<1> do k=1,n
<2>   Gather the vector  $u_i$  and scalar  $\alpha_i$ 
      by using row-wise multi-casting.
<3>   Computation of  $\sigma_i$ 
<4>   do k=kstart,kend
<5>      $w_k = w_k - \sigma_i u_i$ 
<6>   enddo
<7> enddo
    
```

(1) メインカーネル

```

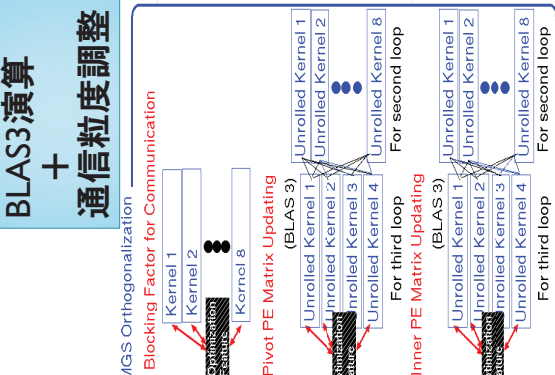
<11> broadcast( $w_k, \dots, w_{k+im-1}$ )
<12>   jstart=jstart+1
<13> else
<14>   receive( $w_k, \dots, w_{k+im-1}$ )
<15>   do j=jstart,n
       $w_j^{(k-1)} = w_j$ 
      do i=k,j+1
         $w_j^{(i)} = w_j^{(i-1)} - (w_i^{(i-1)}, w_j^{(i-1)}) w_i$ 
      enddo
      enddo
<16>    $w_j = w_j^{(j+1)}$ 
<17>   do i=k,j+1
         $w_j^{(i)} = w_j^{(i-1)} - (w_i^T, w_j^{(i-1)}) w_i$ 
      enddo
<18>   enddo
<19>   enddo
<20>   enddo
<21>   endif
<22>   if (k in (2) 内部PE力ヘル)
      endif
<23> enddo
    
```

(1) 極軸PE力ヘル

46

並列MGS直交化アルゴリズム

**自動チューニング機構
(ABCLib_DRSSD ver.1.04)**



47

自動チューニング空間

- 対称実数固有値ソルバ 性能パラメタ定義域
 - Householder三重対角化用 (16×2+2×3実装 / サンプリング点)
 - 通信実装方式切り替え
 - 行列-ベクトル積アントローリング段数制御 $icrit = (1, 2, 3, 4, 8, 16)$ (複数回複数を用いた実験)
 - 行列更新演算アントローリング段数制御 $imv = (1, 2, 3, 4, 8, 16)$ (複数回複数を用いた実験)
 - 行列更新演算アントローリング段数制御 $iud = (1, 2, 3, 4, 8, 16)$ (複数回複数を用いた実験)
 - Householder逆変換用 (1+6+3=9実装 / サンプリング点)
 - 通信実装方式切り替え $icrit = (1, 2, 3, 4, 8, 16)$ (複数回複数を用いた実験)
 - 行列更新演算アントローリング段数制御 $imv = (1, 2, 3, 4, 8, 16)$ (複数回複数を用いた実験)
 - 行列更新演算アントローリング段数制御 $iud = (1, 2, 3, 4, 8, 16)$ (複数回複数を用いた実験)
- QR分解 性能パラメタ定義域 (6+4*6+2=54実装 / サンプリング点)
 - プロック幅調整 $ib1 = (1, 2, 3, 4, 8, 16)$ (主演算用)
 - 極軸ブロック演算用
 - 最外ループアントローリング段数制御 $ioo = (1, 2, 3, 4, 8, 16)$
 - 第2ループアントローリング段数制御 $isp = (1, 2, 3, 4, 8, 16)$

48

自動チューニングのインパクト

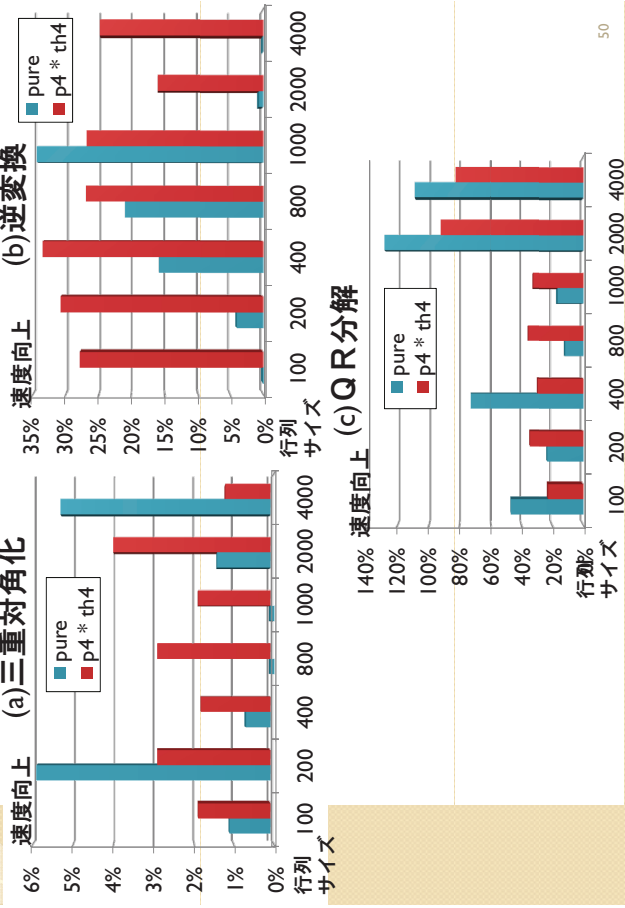
1. 今回全探索空間の概略

- サンプリング点 (行列サイズ) = 8点
 - 固有値ソルバ = $53 \times 8 = 424$ 点
 - QR分解 = $54 \times 8 = 432$ 点
 - 以上合計 : 856 点ノルム実行ノード
 - さらに、ピュアMIPとハイブリッドMIPで2実装なので、総合は1,712点／実行ノード
- 49

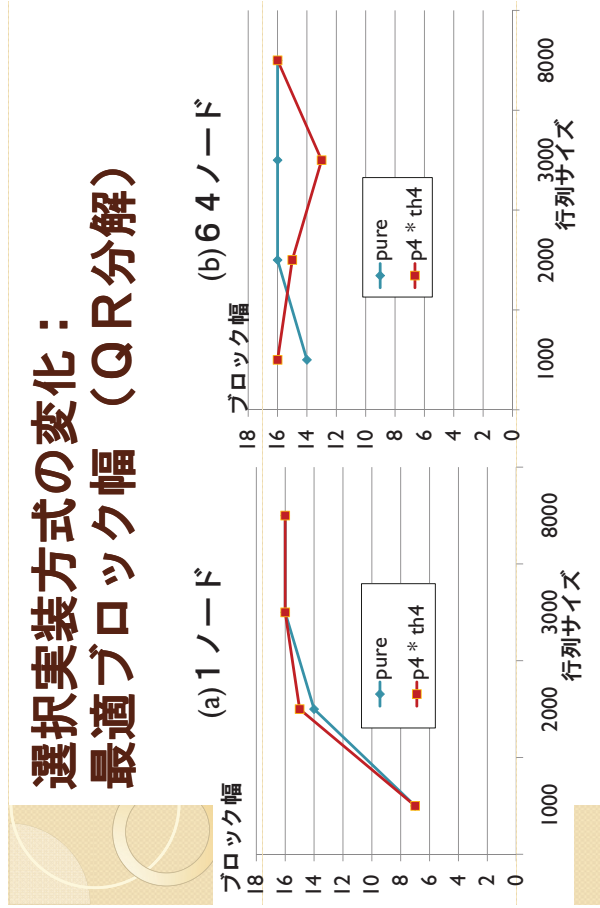
2. 各点における実行時間は非均一 (問題サイズ依存)

- バッチジョブ制約 (東大) : 実行ノードを固定として、実行時間は1回あたり24時間が上限
 - 性能評価のためのデータ採取期間 : ~1週間
 - 以上の1、2を考慮すると、人手では性能評価すら困難 (手間／時間的に)
- 50

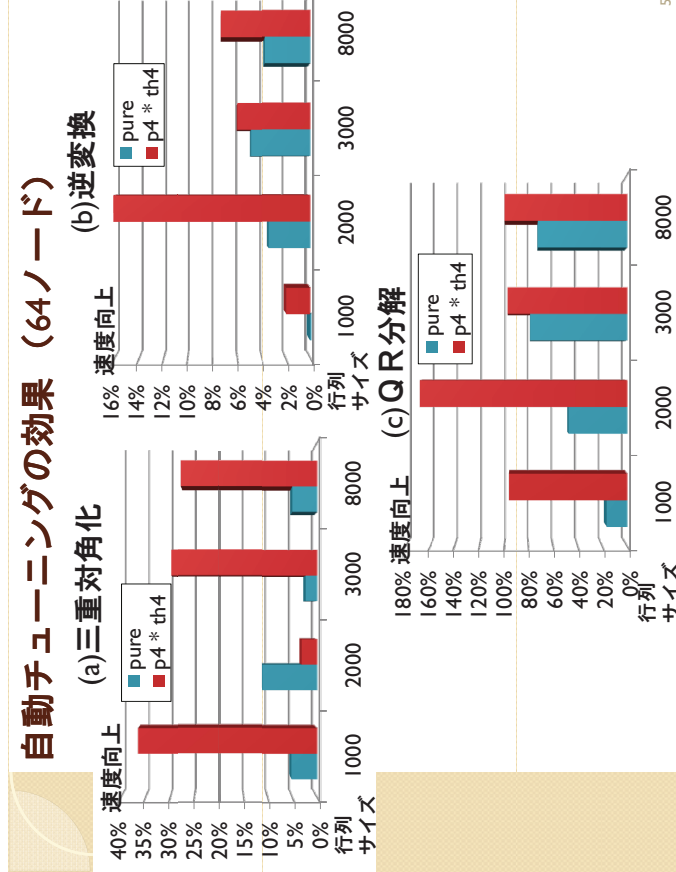
自動チューニングの効果 (1ノード)



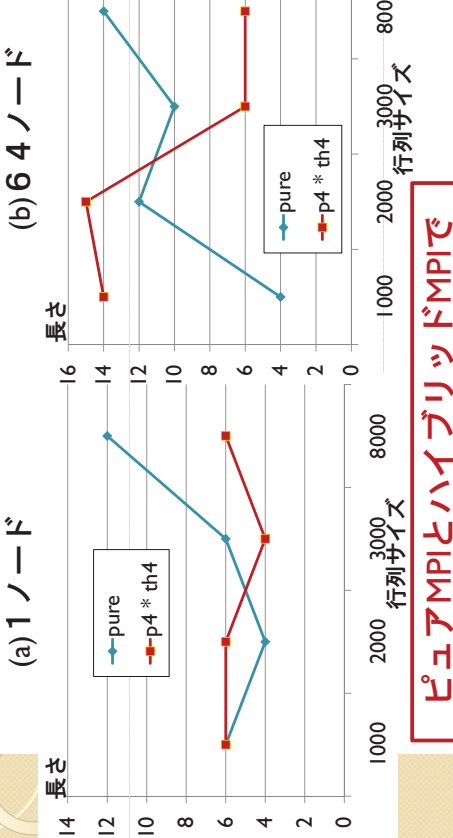
選択実装方式の変化： 最適ブロック幅 (QR分解)



自動チューニングの効果 (64ノード)

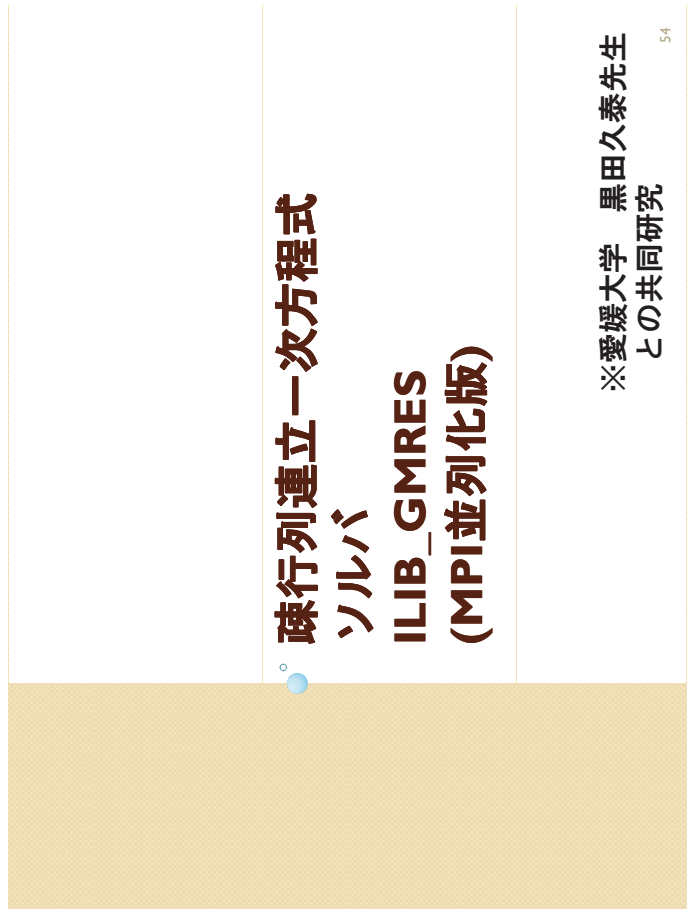
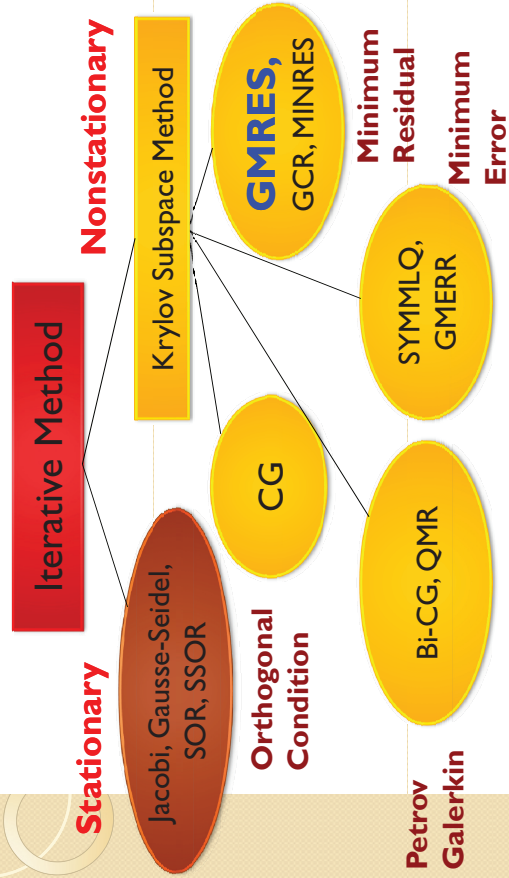


選択実装方式の変化：アンローリング段数 (QR分解、指標：<最外ループ段数×第2ループ段数>)



ピュアMPIとハイブリッドMPIで
全く異なる実装が最適。
この選択も、自動的に可能！

Iterative Algorithms for Linear Equations



Why Sparse Iterative Methods?

$$Ax = b$$

A is a sparse matrix. x, b are dense vectors.

- Many problems on scientific & engineering field are formulated.
- Direct solving (LU) is not effective.
 - Viewpoint of memory and computation complexity.
 - Increase fill-in elements.
 - Use iterative algorithm to save memory space.
- Problems:**
 - Convergence (Preconditioner, Restart Frequency)
 - Setting algorithm parameters needs numerical background.
 - Computational Efficiency
 - Sparse Matrix-Vector Products ($SpMxV$)
 - Efficient Parallel Implementation

GMRES(m) Algorithm Features

- Robust Algorithm
 - Reduce the norm of residual vector according to iteration count, theoretically.
 - Applied to many applications.
 - Setting Restart Frequency “ m ” Is Difficult
 - Large m makes good convergence in general.
 - Large m damages memory and computation order:
- Memory : $O(mn)$, Computational : $O(nm^2)$**
- Frequently Used Manner for the m :
 - Use Library Default Value (Like $m=30$)
 - It does not converge in some cases.
 - Maximize m to memory restriction
 - It can converge, however it takes much time.
 - The time of orthogonalization is increased,
 - since it is not parallelized (depends on algorithm).

57

The GMRES(m) Details

- Linear systems for non-symmetric matrix
- Krylov subspace method with uses the minimum residual approach at every iteration step
- Restarts the iteration each m steps

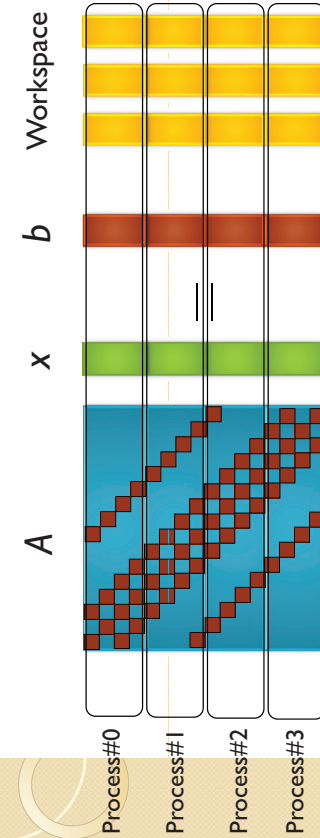
```

xstart = 0
loop:
  for i=1,2,...,m
    w = Av(i)           ( m: restart frequency )
    for j=1,2,...,i
      hj,i=(w, v(j))
      w = w - hj,iv(i)
    enddo
    hi+1,i = // w //
    v(i+1)=w / // w //
  enddo
  solve Hy = // r // e1
  x = xstart+y1v(1)+y2v(2)+y3v(3)...+yiv(i)
  tolerance check
  xstart=x
  goto loop:

```

58

Inner Data Format for SpMxV



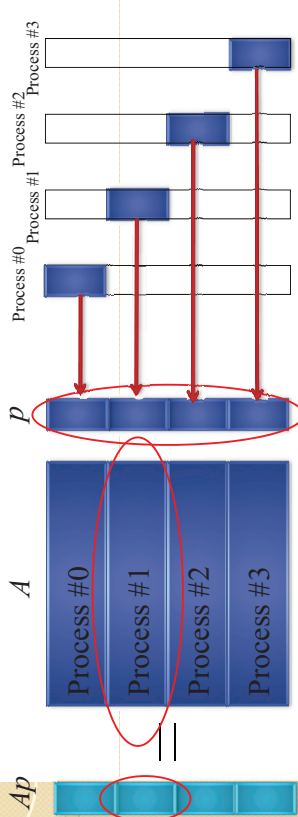
Matrix A is distributed as row manner.

- Matrix A is only saved the elements with their indexes.
- c.f. CRS (Compressed Row Storage)

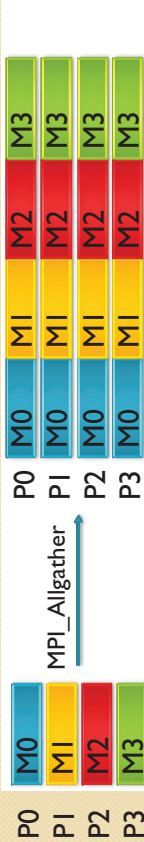
Vectors x and b and workspaces are distributed as block manner.

59

Simple Implementation of Parallel SpMxV : Using MPI_Allgather Function



- MPI_Allgather works:



60

An Example of Parallel SpMxV Code

- SpMxV ($q = Ap$)

```

void spmat_vec(double q[], double a[], int ir[], int ic[],
double p[], int local_size)
{
    MPI_Allgather(&rank*local_size, local_size, MPI_DOUBLE,
    p, local_size, MPI_DOUBLE, MPI_COMM_WORLD);

    for (i=0; i<local_size; i++) {
        q[i]=0
        for (j=ir[i]; j<ir[i+1]; j++) {
            q[i] += a[j]*p[ic[j]];
        }
    }
}

```

To have whole elements of p for all processes

“Serial” SpMxV do as parallel

61

Overview of ILIB_GMRES

• Target Application

• **ILIB_GMRES:** A Parallel Sparse Iterative

Solver with the GMRES(m) Method

• Developed by Prof. H.Kuroda

• Followings are auto-tuned at run-time according to input matrix:

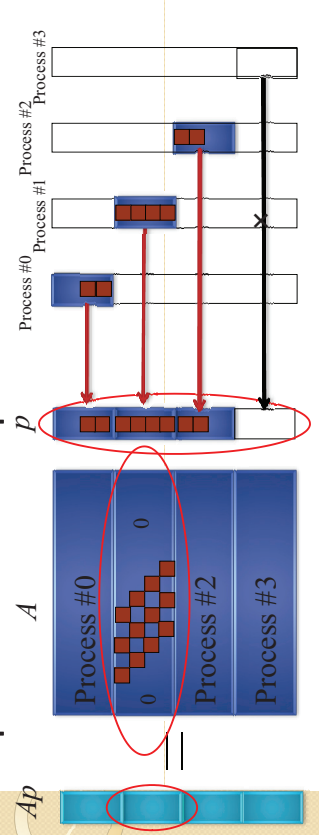
1. Selection of Preconditioners (Scaling, Block ILU, Polynomial)

2. Adjustment of loop unrolling depth of SpMxV

3. Selection of MPI implementations (Gather, Collectives, I-to-I (Blocking or Non-blocking))

62

Reduced Communication Implementation of SpMxV



Whole Elements are not needed.

$$0 \cdot p_1 + 0 \cdot p_2 + 0 \cdot p_3 + a_4 \cdot \underline{p_4} + a_5 \cdot \underline{p_5} + \dots$$

- ↑ In this case, we only know the values of p_4 and p_5 .
- I-to-I communication, like MPI_Send and MPI_Recv can use to speedup the SpMxV.

62

ILIB_GMRES Interface

User source code



ILIB_GMRES routine
int ILIB_GMRES (Mat *A, Vec *x, Vec *b, int max_iter, double tol);

A (input)	:	Coefficient matrix
x (output)	:	Answer vector
b (input)	:	Right-hand side vector
max_time (input)	:	Maximum allowed time
tol (input)	:	Tolerance

Users need not write parallel codes neither use MPI routines

Same as PETSc

Read File operation
MatrixMarket File Format
Harwell/Boeing File Format

Matrix operation	MatCreate() MatGetOwnershipRange() MatSetValues() MatSetValue() MatAssemblyBegin() MatAssemblyEnd() MatZeroEntries() MatDestroy()
Vector operation	VecCreate() VecDuplicate() VecGetOwnershipRange() VecSetValues() VecSetValue() VecAssemblyBegin() VecAssemblyEnd() VecZeroEntries() VecDestroy() VecView()

63

64

Run-time Auto-tuning Facility of ILIB_GMRES

Run-time Auto-tuning Contents:

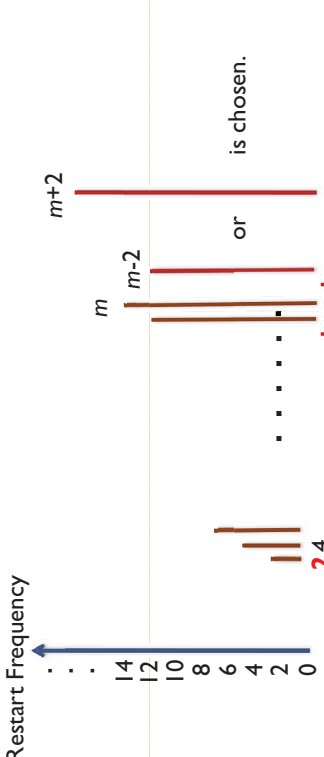
1. Sparse Data Format (corresponding to register blocking)
2. Loop Unrolled Codes for SpMxV
3. Communication Implementations for SpMxV
 - (1) MPI_Allgather
 - (2) MPI_Bcast
 - (3) MPI_Send / Recv (1-to-1 blocking)
 - (4) MPI_Isend / Irecv (1-to-1 non-blocking)
 - (5) MPI_Irecv / Isend (1-to-1 non-blocking)

4. Re-start Frequency

5. Re-Orthogonalization Algorithm (MGS or CGS)
6. Preconditioners (Scaling, Block ILU, Matrix Polynomial)

Default : No Loop Unrolling, Communication: 1-to-1 Blocking, Scaling, CGS Orth., Restart Frequency: 30 fixed.

A Heuristics Approach: Auto-tuning of Restart Frequency [Kuroda et. al., 2000]



Refers the last two restart frequencies with elapsed time and rate of diminution in residual error. It starts from **frequency 2**.

is undesirable. ||||| is desirable. ||||| is undesirable. (cannot solve) ||||| is chosen.

The Test Environment

Target

- The effect of AT for restart frequency on ILIB_GMRES
- Default Restart Frequency : 30(same as PETSc)
- ILIB_GMRES:Auto

Computers

T2K Open Supercomputer (Todai) : 4 Nodes

- Each node has 4 Opteron Quad-core Processor 2.3GHz
- Myrinet(Nirvana) full-bisection 2.5GB/s(one direction) interconnection
- Total peak performance of 4 nodes is 588.8GFlops

Problems

- 3 Matrices from UF Sparse Matrix Collection
- Difficult cases to solve using GMRES.

Matrix Name	Size	Nonzeros	minimum	maximum	RHS
chem_master_1	40,401	201,201	3	5	$A^*(1, \dots, 1)^T$
epb3	84,617	463,625	3	7	$A^*(1, \dots, 1)^T$
matrix_9	103,430	2,121,550	13	677	$A^*(1, \dots, 1)^T$

66

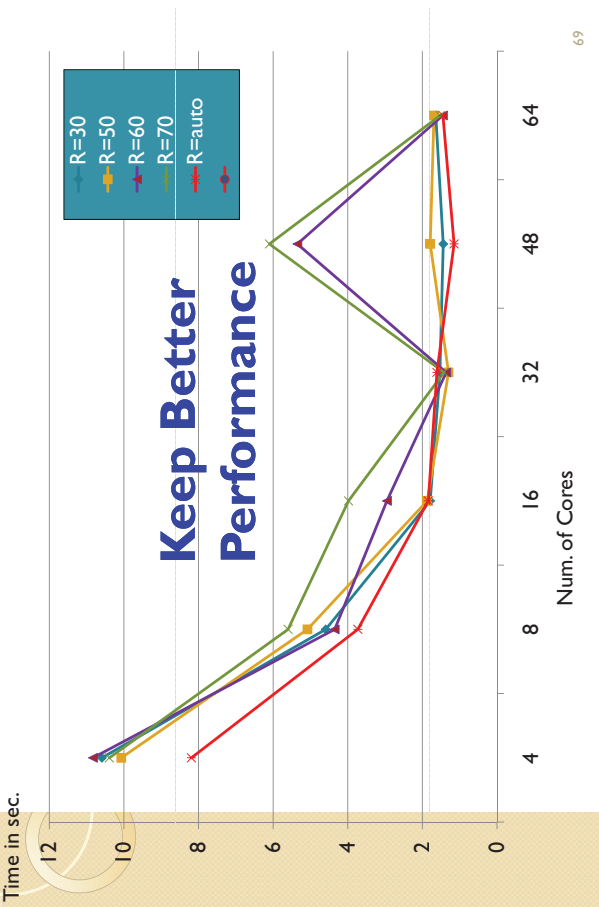
Chem master1 on The T2K

4 cores			8 cores			16 cores		
Restart	Iter.	Orth.	Iter.	Orth.	Time	Iter.	Orth.	Time
30	6752	7.74	10.59	-	4.59	4607	0.77	1.79
40	-	-	-	-	-	-	-	-
50	4265	8.19	10.07	4105	4.28	5.08	3579	1.22
60	3816	8.90	10.83	3039	3.69	4.35	3997	2.20
70	3450	9.05	10.39	3337	4.96	5.60	3755	3.21
Auto	5082	5.92	8.19	3453	2.86	3.73	3672	1.17

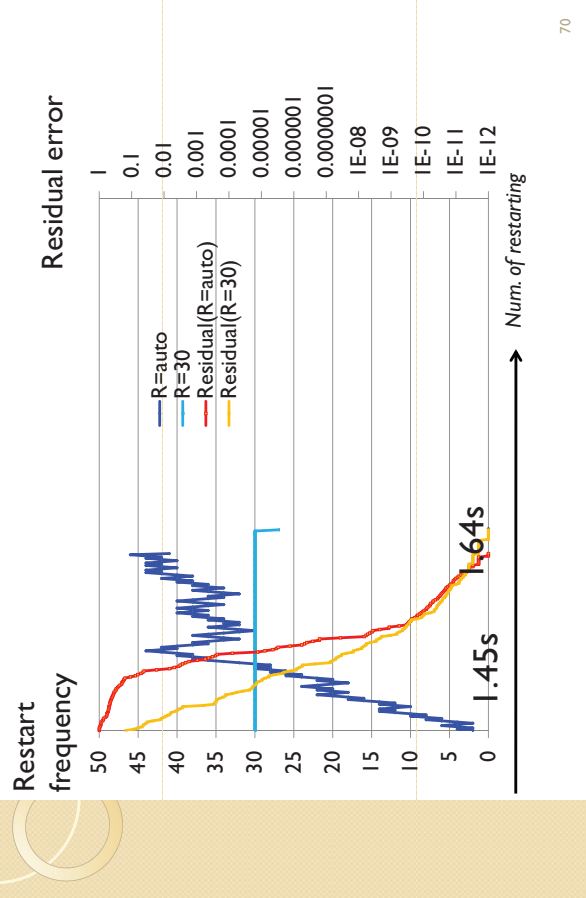
32 cores (2 nodes)			48 cores (3 nodes)			64 cores (4 nodes)		
Restart	Iter.	Orth.	Iter.	Orth.	Time	Iter.	Orth.	Time
30	5306	0.71	1.53	-	-	5039	0.59	1.44
40	-	-	-	-	-	-	-	-
50	3974	0.71	1.30	5580	0.89	1.79	4648	0.84
60	3632	0.72	1.36	3715	4.89	5.35	4371	0.84
70	3566	0.83	1.42	3630	5.55	6.10	3323	0.67
Auto	3818	0.60	1.61	4237	0.52	1.15	4455	0.68

67

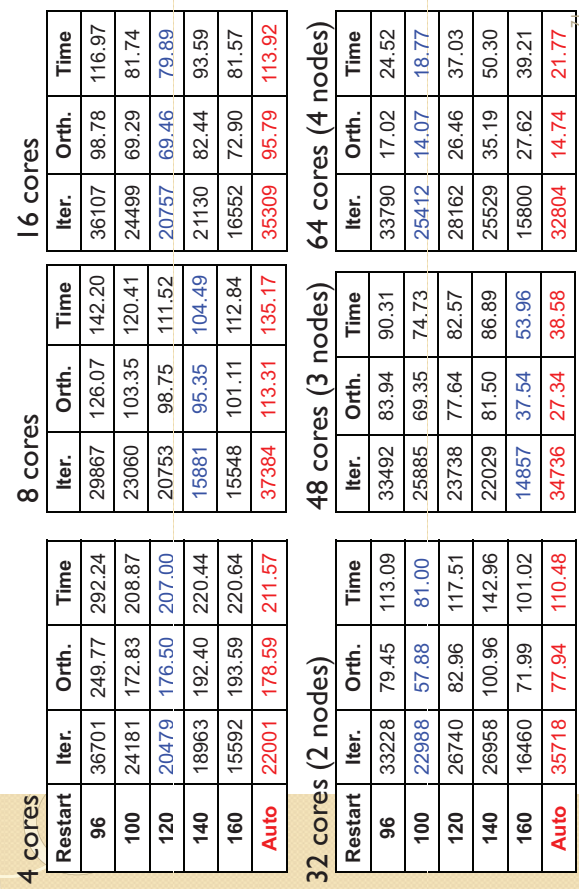
chem_master1 on The T2K (Good Case)



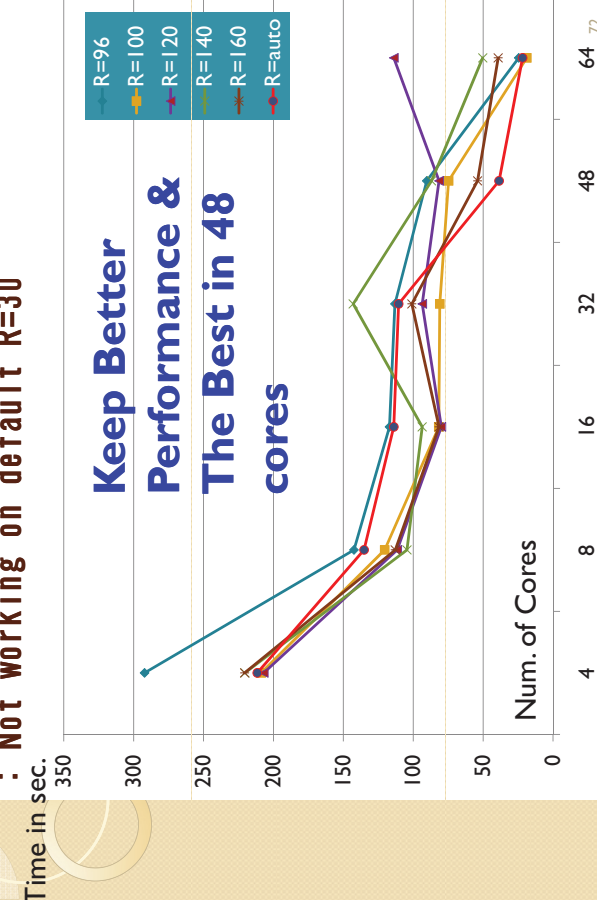
chem_master1 on The T2K (64cores)



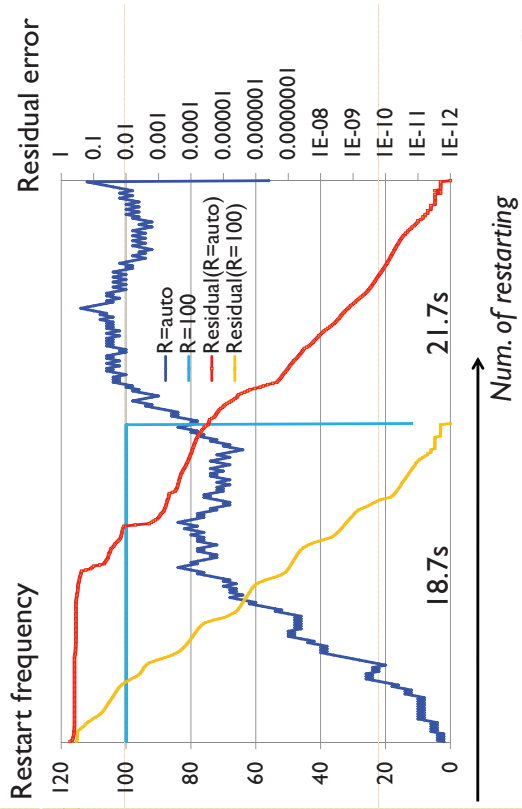
ephb3 on The T2K



ephb3 on The T2K (Not Bad Case)



eph3 on The T2K (64cores)

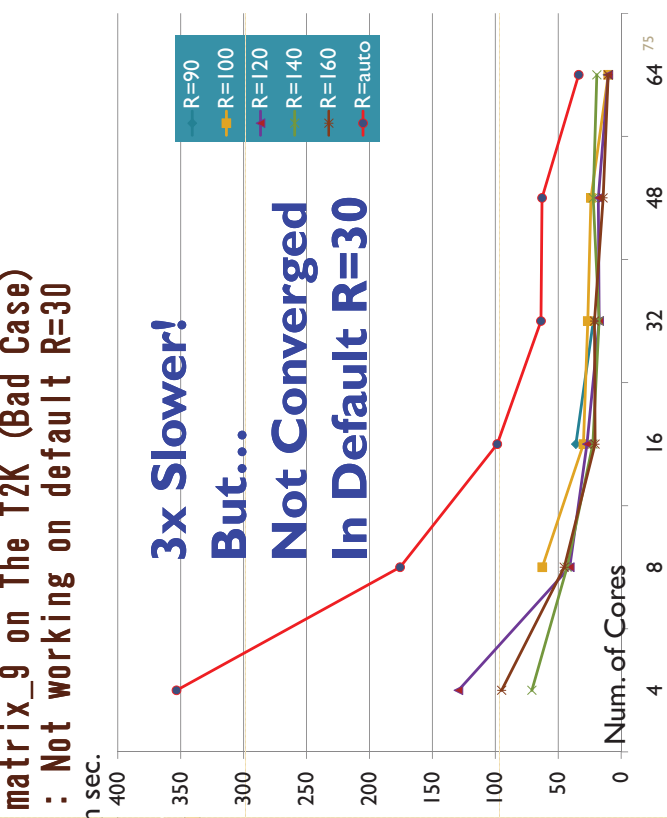


matrix_9 on The T2K

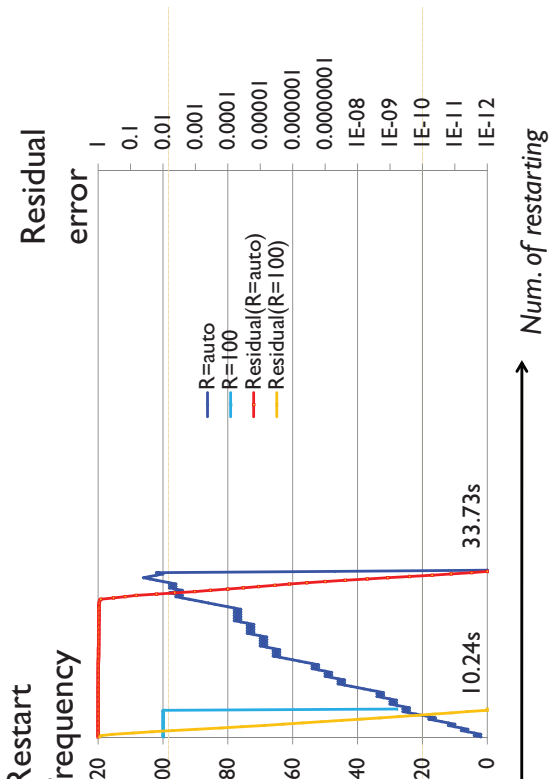
4 cores				8 cores				16 cores			
Restart	Iter.	Orth.	Time	Restart	Iter.	Orth.	Time	Restart	Iter.	Orth.	Time
90	-	-	-	-	-	-	-	2803	13.90	35.98	35.98
100	-	-	-	2960	17.24	62.70	2227	12.53	29.98	29.98	
120	3105	33.70	129.33	1799	12.43	40.87	1956	10.30	27.18	27.18	
140	1600	19.63	70.94	1857	13.83	42.97	1605	9.44	22.48	22.48	
160	2061	29.06	94.98	1871	16.52	45.22	1430	9.35	20.68	20.68	
Auto	8748	76.59	353.55	8504	35.95	175.67	7468	34.69	98.47	98.47	

32 cores (2 nodes)				48 cores (3 nodes)				64 cores (4 nodes)			
Restart	Iter.	Orth.	Time	Restart	Iter.	Orth.	Time	Restart	Iter.	Orth.	Time
90	2643	12.53	22.10	-	-	-	-	2388	5.99	10.80	10.80
100	2814	15.86	26.49	3435	15.30	23.97	2228	5.31	10.24	10.24	
120	1751	10.56	17.45	2583	12.00	18.14	1795	5.69	10.24	10.24	
140	1662	10.92	17.54	1876	9.88	22.17	1666	4.71	19.31	19.31	
160	1461	10.29	21.19	1729	9.78	14.32	1587	5.50	10.30	10.30	
Auto	8282	77.94	63.72	12449	31.46	62.85	7587	14.74	33.73	33.73	

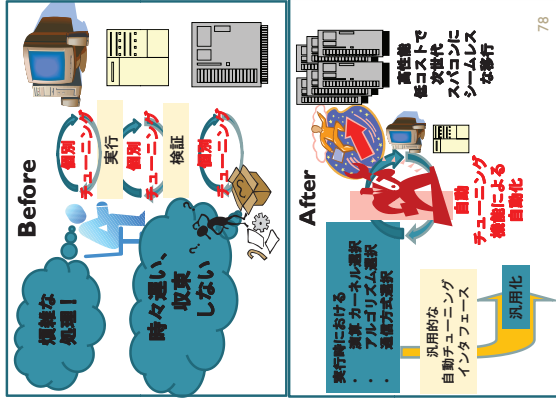
matrix_9 on The T2K (Bad Case)
: Not working on default R=30



matrix_9 on The T2K (64cores)



e-エンス実現のためのシステム統合・連携ソフトウェアの研究開発
 高生産・高性能計算機環境実現のためのシステム「シームレス高生産・高性能プログラミング環境」高性能高可搬性ライブラリ
 (平成20年度～平成23年度)：代表 東京大学 石川裕 教授



- 問題
 - 最適化が職人芸に依存、生産性がない、可搬性がない、処理、コストがかかる
 - 理論的に範囲外のパラメタ指定による収束失敗
- 目標
 - 高生産性／性能移植性をもつ数値計算ライブラリの提供
- 疎行列の非ゼロ成分の分布を考慮し
実行時ににおける以下の自動チューニング機能を提供
 1. 演算カーネル選択
 2. 数値アルゴリズム選択
 3. 並列実装方式選択
 4. 汎用的なAPI

反復解法ソルバ XABC LIB (OPENMP並列化版)

※愛媛大学 黒田久泰先生
 東京大学 中島研吾先生
 日立製作所 直野健博士
 日立製作所 櫻井隆雄氏
 との共同研究 77

E-Science Development Library

- Development of 2009 (**Development From Scratch**)
 - **Xabclib_LANCZOS**
 ● Eigensolver with the Restart LANCZOS for Standard Eigenproblem
 - **Xabclib_GMRES**
 ● Linear Equations Iterative Solver with GMRES(m)
 - **OpenATlib**
 - **Common AT Interface Library**
- The following AT Facilities are implemented:
 1. General Auto-tuning Facility for Re-start Frequency
 2. Run-time Selection for SpMxV Implementations
 3. Optimization for Multicore Processors
 - Optimized for invoked number of processes
- **Run-time Implementation Selection Based on Run-time Memory Restriction**
- Common AT Interface to Establish The above AT Functions
- Fortran and OpenMP Parallelization, CRS format

OpenATlib:A General AT Interface for Library Developers

- **Restart Frequency Interface**
- **OpenATI_DAFRT(NSAMP,SAMP,IRT,INFO)**

- NSAMP:The Number of Sampling Points
- SAMP:Sampling Data (double)
- IRT:Judgment Flag
 - 0 : Do not need Increase
 - 1 : Need Increase

$$R_i(s, t) = \frac{\max_z \{r_i(z); z=s-t+1, \dots, s\}}{\min_z \{r_i(z); z=s-t+1, \dots, s\}}$$

Is a ratio for the max per min on residuals r_i from $s-t+1$ to s .
Extension to ILIB: Last S samples.

An Example of OpenATTI_DAFRT

```

INCLUDE "OpenAT.inc"
MSIZE=1 //First Restart Frequency
I=5 //Judgment Frequency
...
IF RSIDID < TOL RETURN //Convergence Test
SAMP (K)=RSIDID // Set Residual to SAMP(K)
IF K = I THEN //Call DAFRT per I-times
    IRT=0
    CALL OpenAT1_DAFRT (I, SAMP, IRT, INFO)
    IF IRT=1 MSIZE=MSIZE+1 //Increase Restart Frequency
    K=0
END IF
K=K+1

```

—
8

An Example of OpenATI_DSRMV

```

INCLUDE "OpenATL.inc"
OpenATL_DSRMV_IPARM_I=3 //Set DSRMV Sampling Mode
ICASE=0 // Clear DSRMV Parameter
...
//First SpMxV
CALL OpenATL_DSRMV (N,NNZ,IRP,ICOL,VAL,X,Y
ICASE,NUM_SMP,WK,INFO)
OpenATL_DSRMV_IPARM_I=1
//After them, the selected method is used.
...
//The set parameter is used.
CALL OpenATL_DSRMV (N,NNZ,IRP,ICOL,VAL,VEC
IPARM,IPARM,RPARM,INFO)

```

```
... //The set parameter is used.  
CALL OpenATI_DSRMV  
JPARM,IPARM,RPARM,I
```

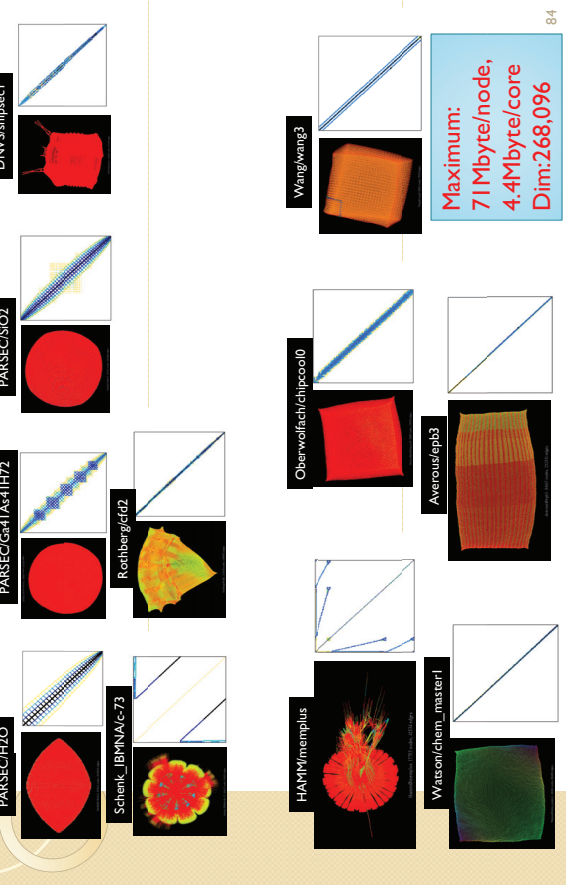
6

OpenATLib: A General AT Interface for Library Developers

- **SpMxV Interface ($y = Ax$)**
 - **OpenATI_DSRMV0 : Symmetric**
 - **OepnATI_DURMV0 : Unsymmetric**
 - Arguments:
 - N : Matrix Size
 - NZ : Number of Nonzero Elements
 - IRP(N+1) : Diagonal Index Pointer
 - ICOL(NNZ) : Row Index Pointer
 - VAL(NNZ) : Element Value
 - X(N) : RHS Vector
 - Y(N) : LHS vector
 - **ICASE : AT Implement Switch No**
 - **NUM_SMP: Reduction Number**
 - **WK(N, NUM_SMP) : Work Space**
 - **INFO : Error Code**

82

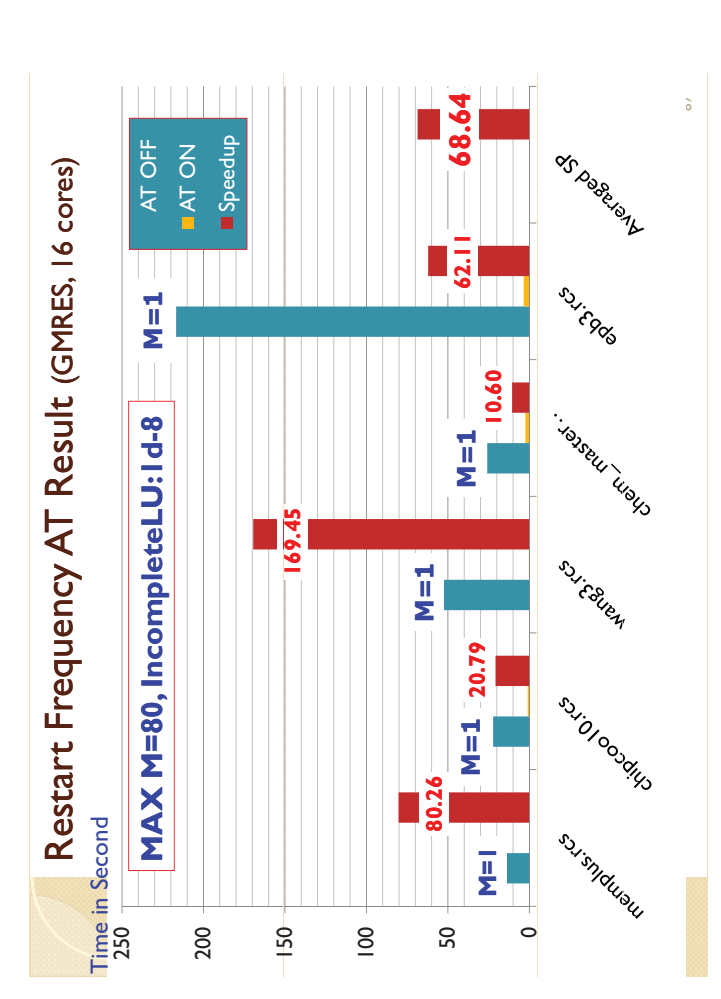
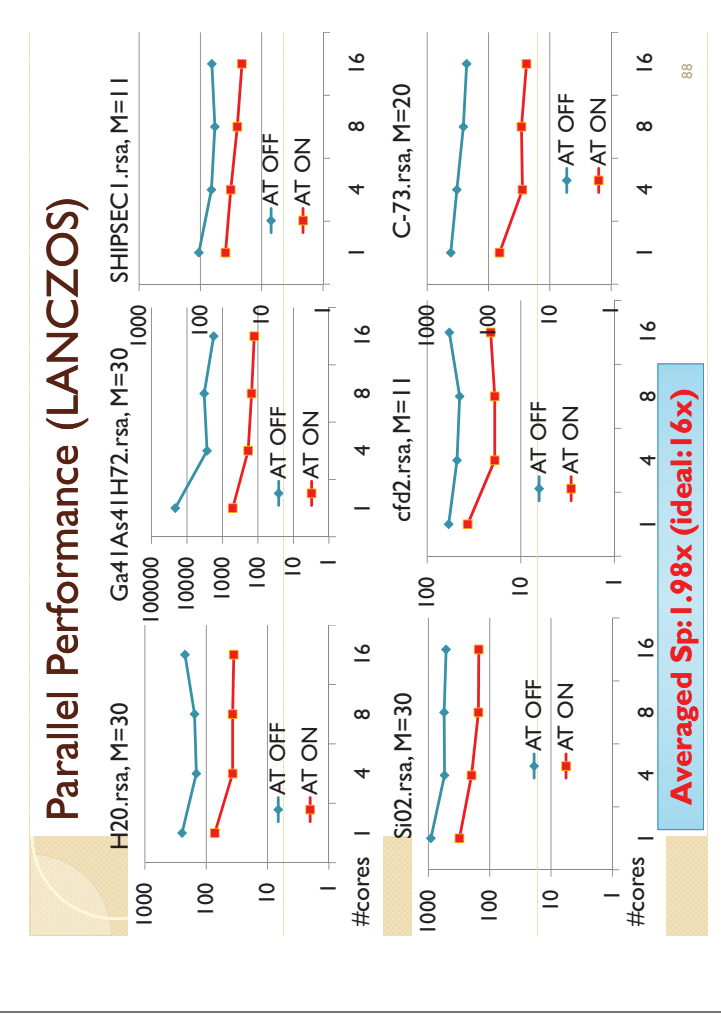
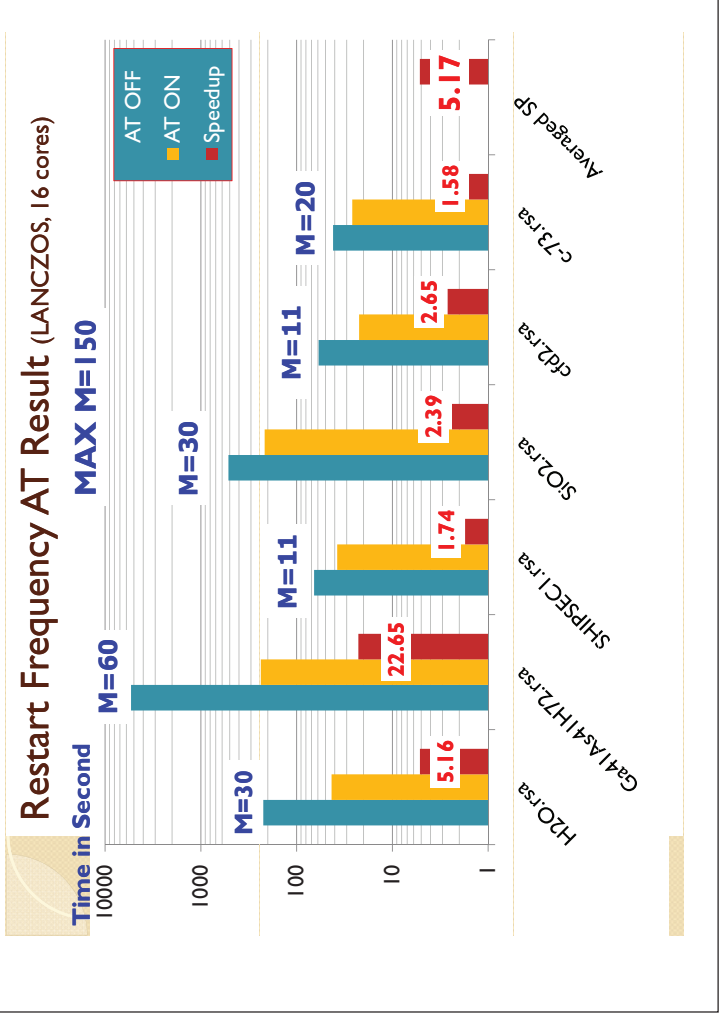
U. Florida Sparse Matrix Collection
●Symmetric (Eigenproblem, Lanczos Method)
—General
—Sparse
—Full
—Banded
—Triangular
—Diagonal
—Complex
—Sparse Triangular
—Sparse Diagonal
—Sparse Banded
—Sparse General
—Sparse Complex
—Sparse Full
—Sparse Triangular Complex
—Sparse Diagonal Complex
—Sparse Banded Complex
—Sparse General Complex
—Sparse Full Complex



21

Evaluation Environment

- T2K Open Supercomputer(Todai)
 - One Node Execution with OpenMP Parallelization (Maximum 16 cores on one node)
 - Compiler
 - Intel Fortran Compiler Professional Version 11.0
 - Compiler Option:
 - -O3 -m64 -openmp -mcmmodel=medium
 - **AT Facility**
 - Restart Frequency
 - SpMV implementation selection
 - a) Normal; b) 8-2 unroll; c) Vectorized;
 - **Implementation Selection According to Memory Usage**
 - Algorithm Specialized Matters
 - LANCZOS: 10 eigenvalues computations
 - GMRES : The Jacobi Preconditioner
 - Other Choices: Scaling, Jacobi, ILU, SSOR

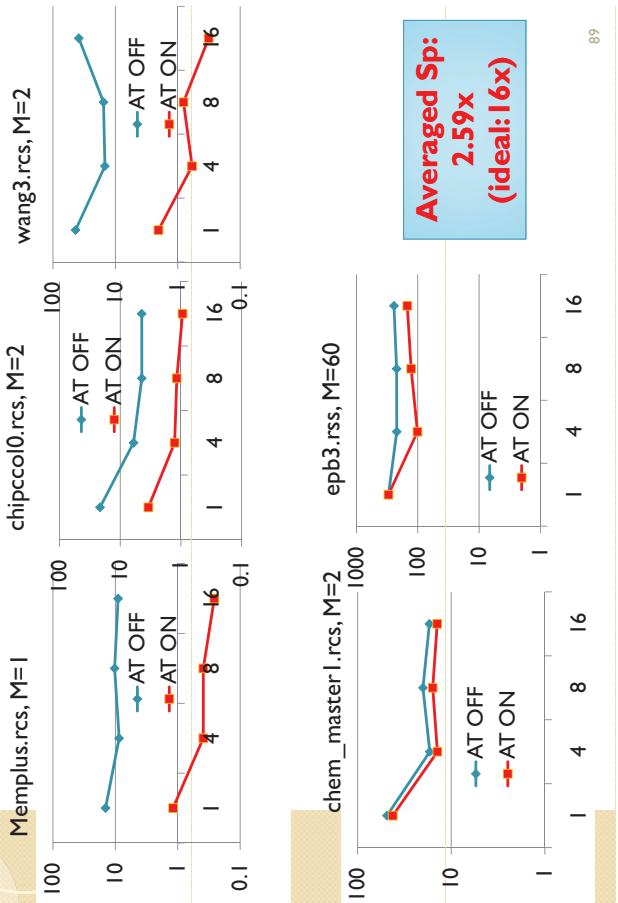


残された話題

- 数値アルゴリズム関連（以下は事例の一部）
 - 自動チューニング機構
 - 解法全般に通用する性能パラメタの自動チューニング手法
 - ユーザが望む数値計算ポリシー（速度／精度／メモリ量など）を考慮した自動チューニング手法
 - <精度保障技術への導入も考慮
 - 選択（推定）パラメタと性能モデルの精度解析と自動補正
- 数値解法
 - 反復解法における各種性能パラメタの自動チューニング
 - 前処理方式選択
 - 再直文化など、解法に依存した内部アルゴリズム選択
 - 疎行列直接解法におけるオーダリング方式自動選択
 - 疎行列データ形式の自動選択
 - 各種の疎行列圧縮形式（と、データ再変換）
 - 行列・ベクトル積の実装方式（通信方式、負荷バランス調整）
- 計算機システムの問題も山積



Parallel Performance (GMRES, Jacobi Preconditioner)



89

おわりに

- ソフトウェア自動チューニング研究は
◦ <学際領域>

◦ 計算科学とコンピュータサイエンスの境界

- 線形計算／最適化の数理
- 先進計算機アーキテクチャ／システム
- コンパイラ／言語処理
- 数値計算アルゴリズム
- 超並列アルゴリズム
- ソフトウェア工学／品質管理

- 全般の知識を駆使しないと解決できない。
- 実学、今後5年以内に必須となる分野
- 学生／若手研究者の活発な参入に期待

- ふるってご投稿＆ご参加を！

自動チューニング研究会

- 2003年 電通大で発足
 - 初期メンバー：今村、須田、山本、片桐
- 自動チユーニング研究の情報交換、研究資金／研究企画の調整、国際会議企画(iWAPT)、等を行なう団体
- 現在、会員18名
- 入会したい方は片桐までご連絡を
- 参考資料
 - 第4回iWAPT2009ホームページ
(<http://www.iwapt.org/>)
 - 2009年10月1日、2日、東京大学小柴ホール
 - Paper submission due: June 29th, 2009
 - 参加費無料

90



91

92

謝辞

自動チューニング研究会（順不同）

1. 主査：須田礼仁（東大）
2. 幹事（総務）：片桐孝洋（東大）
3. 幹事（連絡）：伊藤祥司（理研）
4. 顧問：弓場敏嗣（電通大名誉教授）
5. 今村俊幸（電通大）
6. 山本有作（名大）
7. 直野健（株）日立製作所中央研究所
8. 清水謙多郎（東大）
9. 佐藤周行（東大）
10. 岩下武史（京大）
11. 寺内和也（日本ビジュアルニューメリックス）
12. 恵木正史（株）日立製作所中央研究所
13. 横井隆雄（株）日立製作所中央研究所
14. 畠田久泰（愛媛大）
15. 中島研吾（東大）
16. 滝沢寛之（東北大）
17. 高橋大介（筑波大）
18. ハラム宏（京大）

93



参考文献

第一部

1. 片桐孝洋：「ソフトウェア自動チューニング－性能とその適用」、慧文社、2004年12月3日初版第一刷発行、ISBN4-905849-18-7
2. 情報処理学会雑誌「情報処理」2009年6月号特集「科学技術計算におけるソフトウェア自動チューニング」

第三部（参考資料）

1. 片桐孝洋、吉瀬謙二、本多弘樹、弓場敏嗣、2004年先進的計算基盤システムシンポジウム（Symposium on Advanced Computing Systems and Infrastructures (SACIS)）、2004年5月26日（金）～28日（水）～札幌コンベンションセンター、「SACIS 2004」、論文集、pp.43-52 (2004) ; 「自動チューニング処理記述用ディレクティブABC LibScriptの設計と実装」
2. Takahiro Katagiri, Kenji Kise, Hiroki Honda, and Toshihisa Yuba, Parallel Computing, Vol.32, Issue 1, pp.92-112 (January 2006); ABC LibScript: A Directive to Support Specification of An Auto-tuning Facility for Numerical Software

94



参考資料

第二部・第四部（参考資料）

1. Takahiro Katagiri, Kenji Kise, Hiroki Honda, and Toshihisa Yuba, Parallel Computing, Vol.32, Issue 3, pp.231-250 (March 2006); ABC Lib DRESSED: A Parallel Eigenvalue Solver for an Auto-tuning Facility
2. Takahiro Katagiri, Christof Vanecek, James W. Demmel, 第13回「ハイパワームコンコンピュータードイツワークショップ(HOKKE-2006)」北海道大学第一会議室に開催された情報処理学会研究報告2006-HPC-105、pp.25-30, 2006年2月7日(第1回)～2006年2月12日(第2回)；「HPC-105」for Computing Eigenvalues in Symmetric Tri-diagonal Eigenvalue Solvers
3. Takahiro Katagiri, Christof Vanecek, James W. Demmel, 2006年並列／分散／協調処理に関する「高知」ナマーフワークショッフ(SWOPP-2006)高知商工会館情報処理学会研究報告2006-HPC-107、pp.18-22, 2006年8月3日(火)～8月2日(水)；「HPC-107」Effect on Run-time Auto-tuning for Multi-section with Multiple Eigenvalues Method
4. 片桐孝洋、情報処理学会研究報告2006-8-HPC-1-17, 2006年10月15日(水)～沙留シテインセントニー、「並列マルチコア環境での自動チューニング機能の有効性」；「Nオーブンスパンコン上の固有値ソルバについて」
5. 片桐孝洋、黒田久泰、2000年並列／分散／協調処理に関する「旭川」サマー・ワークショップ(SWOPP) 2000年7月10日(佐賀)～11日(福岡)；「情報処理学会研究報告2006-HPC-1-1」
6. 片桐孝洋、東京大学情報センタースペースコンピュータイニシアチブ「コンピュータサイエンス」(2006)；「並列計算機環境に向けた固有値ソルバの開発」
7. 片桐孝洋、黒田久泰、第14回日本計算工学会講演会、オガニアズデセシヨン、東京大学生徒研究会、2009年5月14日(火)～15日(水)；「マルチコア環境への適用」、「ABC LibScript: A Directive to Support Specification of An Auto-tuning Facility」
8. 片桐孝洋、第14回日本計算工学会講演会、オガニアズデセシヨン、「駆けたたらうれしい、講演論文問題」、東京大学学生産研究所、pp.185-186 (2009)；「ベタスケール計算を目指したMRR法を用いた固有値ソルバの開発」

95



96

講演内容

- 第一部：ソフトウェア自動チューニング概論
 - 数理からみた自動チューニングとは
 - 計算機システムからみた自動チューニングとは
- 第二部：自動チューニング機能付き数値計算ライブラリ
 - 密行列固有値ソルバ関連 (Householder三重対角化、QR分解)
 - 疎行列連立一次方程式ソルバ (GMRES法)
- 第三部：自動チューニング記述用計算機言語
 - ABCLibScript (日本発／初のAT言語、AT研究成果物の一つ、ある意味世界の先駆け)
 - 行列積計算に対するABCLibScriptのデモンストレーション
- 第四部：超並列固有値解析アルゴリズム
 - 並列固有値ソルバ (逆反復法、MRRR法、dqs法)

97

言語設計方針

- 容易に自動チューニング指定
- 数値計算処理に機能限定:
 - アンローリング指定子(*unroll*)
 - 変動パラメタ指定子(*variable*)
 - アルゴリズム選択指定子(*select*)
- もとのプログラムの実行を阻害しない
 - ディレクティブ形式でプログラム中に記述
 - 高い可読性コードを自動生成
- Fortran90+MPI-Iのコードを自動生成
- 仕様は計算機言語には依存しない
- 自動チューニングの見通しがよい
 - 2種パラメタ(BP、PP)概念の導入

98

第三部 自動チューニング機能付き記述するための専用言語

- チューニングの「手間」を削減する
- チューニングの「つまみ」を自動生成する

98

プリプロセッサの処理

ディレクティブで記述

```
!ABCLib$ install unroll () region start
!ABCLib$ name MyMathMul
!ABCLib$ varied () from 1 to 8
do i=1,N
    do j=1,N
        da1 = A(i,j)
        dc = C(k,j)
        da1 = da1 + B(i,k) * dc
    enddo
    A(i,j) = da1
enddo
!ABCLib$ install unroll () region end
```

■最適化
■実測とモデル化

AT領域選択 コンポーネント

```
do i=1,N
    do k=1,N
        da1 = C(k,i)
        dc = A(i,k) * da1
        da1 = da1 + B(i,k) * dc
    enddo
    A(i,i) = da1
enddo
!ABCLib$ install unroll () region end
```

■実行時最適化
■最適化済みパラメタ設定

AT領域ライブラリ コンポーネント

■チューニング対象領域の
サブルーチン/ライブラリ化

100

インストール時自動チューニング指定： 行列積コードのループアンローリング

```

!ABCLib$ install unroll (i) region start
!ABCLib$ name MyMatMul
!ABCLib$ varied (i) from 1 to 8
do i=1, N
    do j=1, N
        do k=1, N
            da1 = A(i,j)
            dc = C(k,j)
            da1 = da1 + B(i,k) * dc
        enddo
        A(i,j) = da1
    enddo
!ABCLib$ install unroll (i) region end

```

101

**対象領域
(AT 領域)**
(ソフトウェア開発者が知っている)

行列積コードのループアンローリング (続き)

- プリプロセッサ実行後、最外側のループがアンロールされ、AT領域ライブラリコソネットに自動登録

```

if (i_unroll .eq. 1) then
    Original Code
endif
if (i_unroll .eq. 2) then /* i is dividable by 2 */
    im = N/2
    i = 1
    do ii=1,im
        do j=1,N
            da1 = A(i,j); da2 = A(i+1,j)
            do k=1,N
                dc = C(k,j)
                da1 = da1 + B(i,k) * dc; da2 = da2 + B(i+1,k) * dc; enddo
            enddo
            A(i,j) = da1; A(i+1,j) = da2
            i = i + 2;
        endif
    endif

```

102

アンローリング段数が自動的にパラメタ化される

インストール時自動チューニング指定： ブロック幅調整

```

!ABCLib$ install variable (MB) region start
!ABCLib$ name BlkMatMat
!ABCLib$ varied (MB) from 1 to 64
do i=1, n, MB
    call MyBlkMatVec(A,B,C,n,i)
enddo
!ABCLib$ install variable (MB) region end

```

**対象領域
(AT 領域)**
(ソフトウェア開発者が知っている)

実行起動前自動チューニング指定： アルゴリズム選択

実行起動前自動チューニング指定、
アルゴリズム選択処理の指定

```

!ABCLib$ static select region start
!ABCLib$ parameter (in CacheS, in NB, in NPr)
select sub region start
according estimated
(2.0d0*CacheS*Nb)/(3.0d0**NPr)
対象 1 (アルゴリズム 1)
select sub region end
!ABCLib$ static select region start
!ABCLib$ select sub region start
according estimated
(4.0d0*CacheS*Nb)/(2.0d0**NPr)
対象 2 (アルゴリズム 2)
select sub region end
!ABCLib$ static select region end

```

103

**対象 1 と 2 の選択情報が
パラメタ化される**

ABCLibScriptのデモ

- 自動チューニングに必要なコードを、いまここで自動生成してみる
 - 「行列-行列積」コード
 - ちょっと普通でない書き方
 - 最適化されているコードなど、実用コードは素直でない
 - ループアンローリングの適用事例
 - i, j, k 三重ループにおける、それぞれ8段展開
 - 自動生成のコードの種類：
 - $8 \times 8 \times 8 = 512$ 種類
 - 手書きで開発するのは事実上無理
 - コード自動生成なら、製作は一瞬
 - でも実行（チューニング）はそれなりに時間がかかる
 - だが、コード製作作業、チューニングのための測定作業が完全に自動化されることとは大きい

105

講演内容

- 第一部：ソフトウェア自動チューニング概論
 - 数理からみた自動チューニングとは
 - 計算機システムからみた自動チューニングとは
- 第二部：自動チューニング機能付き数値計算ライブラリ
 - 密行列固有値ソルバ関連（Householder三重対角化、QR分解）
 - 疎行列連立一次方程式ソルバ（GMRES法）
- 第三部：自動チューニング記述用計算機言語
 - ABCLibScript（日本発／初のAT言語、AT研究成果物の一つ、ある意味世界の先駆け）
 - 行列積計算に対するABCLibScriptのデモンストレーション
- 第四部：超並列固有値解析アルゴリズム
 - 並列固有値ソルバ（逆反復法、MRR法、dqds法）

106

第四部 超並列固有値解析計算

- 先進アーキテクチャにマッチしたチューニングの「つまり」を開発する

107

- ### ペタフロッパスマシンの登場
- 2008年11月のTOP500
 - 1位：Roadrunner (DOE/NNSA/LANL)
 - 1.05 PFLOPS、129,600コア
 - 2位：Jaguar (ORNL)
 - 1.059 PFLOPS、150,152コア
 - ペタフロッパスマシンのコア数は10万コア以上

- 大規模数値シミュレーションは、1アプレリで10万並列が必要（期待される）
- ソルバ部分（数値計算ライブラリ）が大部分の実行時間を占める場合が多い
- ソルバは10万並列を達成できるアルゴリズム／実装になっていますか？

108

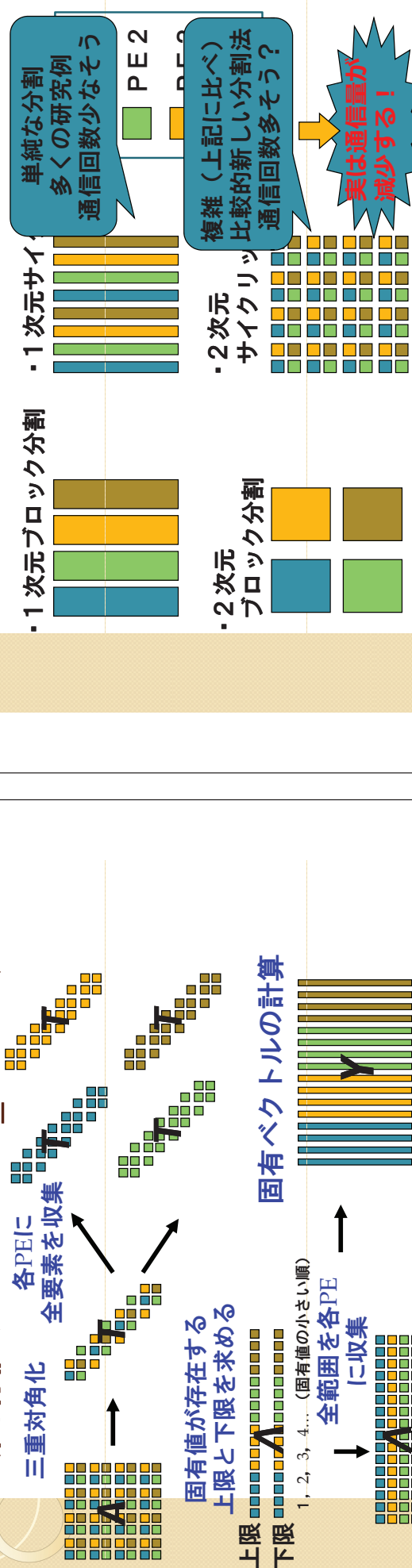
話の流れ

- 背景
- 対称実数密行列固有値ソルバ
 - アルゴリズムの説明
 - 性能評価環境：T2Kオープンスパコン（東大版）
 - Householder三重対角化を経由するアルゴリズム
 - 先進的固有値アルゴリズム：MRRR
 - 性能評価
- ピュアMPI実行 vs ハイブリッド実行
- 大規模問題実行性能

109

並列ソルバ全体の流れ

(固有値ソルバABClib_DRSSSED)



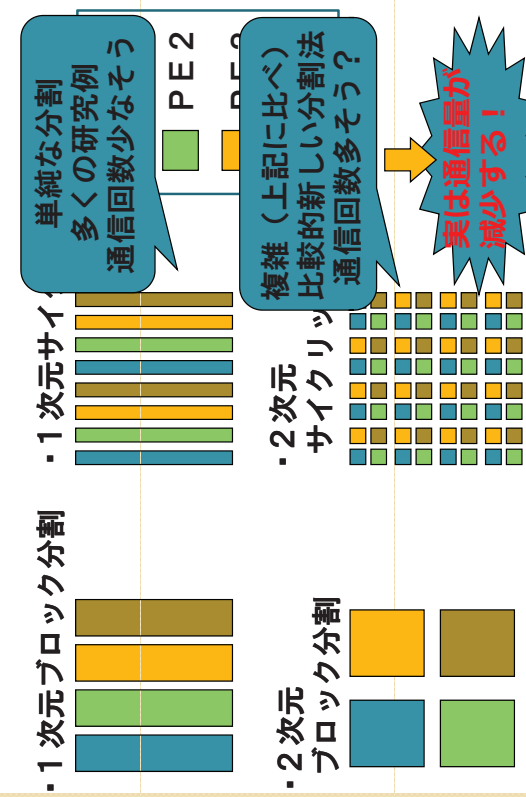
111

用途に応じた最適化戦略

- 前提：全て（もしくは次元数の半数以上の）固有値・固有ベクトルを求める場合
- 大規模固有値計算を1回（“普通”的な大規模計算）
 - 三重対角化がネック
 - キャッシュブロック化手法を使い、単体性能を向上させる手法がよい
- 小～中規模固有値問題を数百回～数千回（計算時間が大規模）
 - 三重対角化がネック
 - 場合により固有ベクトル計算部分がネック
 - 単体性能より合数効果を向上させる手法がよい
 - 固有値ソルバよりその他の処理（行列生成など）が重い
 - 上記理由から
 - 全体実行時間制約により、固有値ソルバ部分の次元数が大規模になり得ない（大規模な場合の1/5～1/10）
 - 配列データが完全分散の場合が多い
→ プロセス数を少なくして使うのが面倒／性能出ない

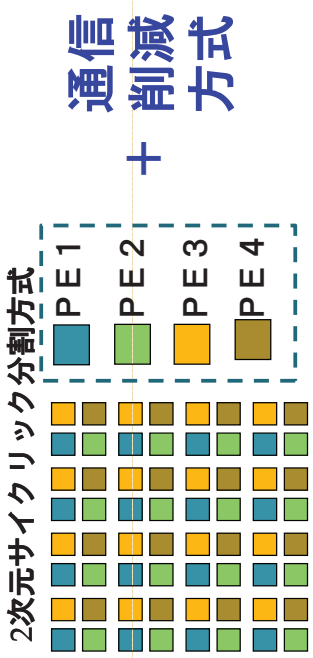
110

データ分散方式の分類



112

Householder三重対角化の通信削減アルゴリズム



\sqrt{p} のオーダーで通信を伴う加算が減少していく

$$\text{Time [SEC]} \quad n = 4096$$

$$1000$$

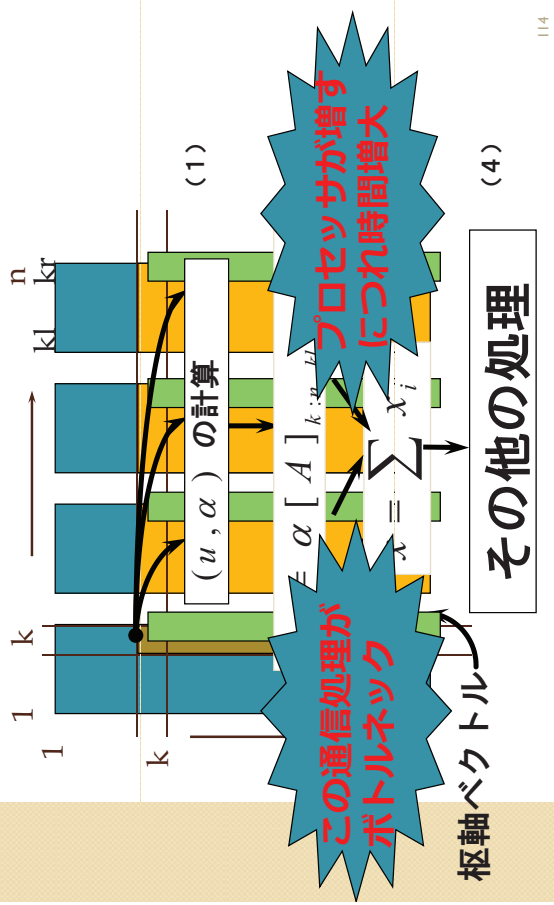
$$100$$

$$10$$

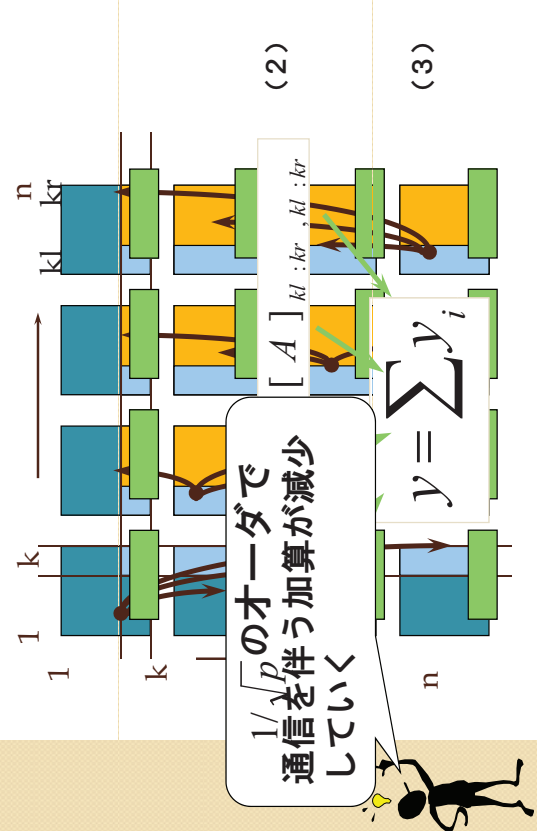
$$4 \quad 16 \quad 32 \quad 64 \quad 128 \quad 256$$

Number of PEs

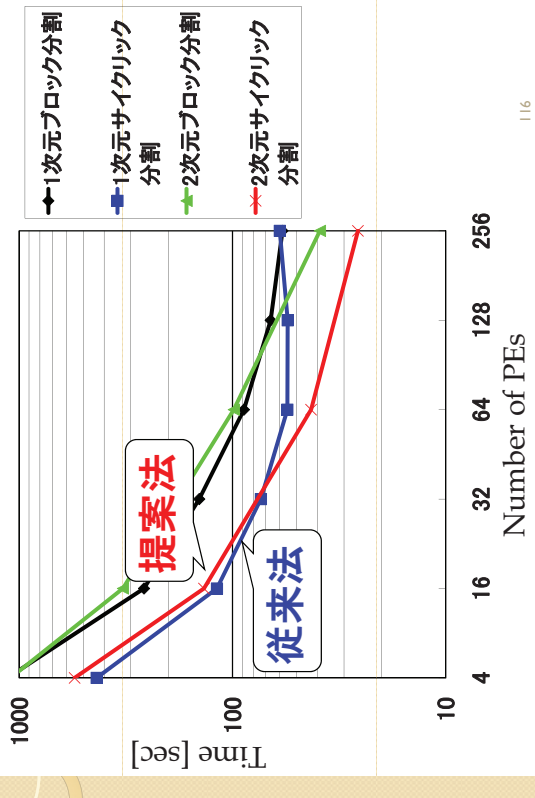
1次元サイクリック分割（従来法）の並列処理の流れ



2次元サイクリック分割方式（提案法）の並列処理の流れ



日立SR220I@東大大計算センター（2000年）の実行結果 (Hessenberg化: $n = 4096$)



話の流れ

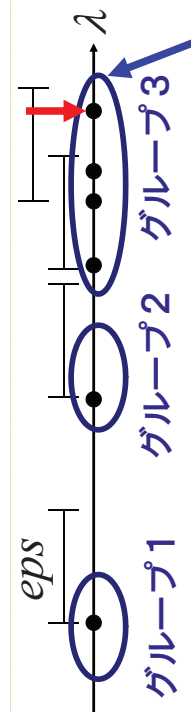
- 背景
 - 対称実数密行列固有値ソルバ
 - アルゴリズムの説明
 - Householder三重対角化を経由するアルゴリズム
 - 先進的固有値アルゴリズム：MRRR
 - 性能評価
 - 性能評価環境：T2Kオープンスパコン（東大版）
 - 単体性能評価
 - ピュアMPI実行 vs ハイブリッド実行
 - 大規模問題実行性能

逆反復法

- 得られている $\hat{\lambda}$ と、適切な v_0 を用いて、以下を反復：
 - 逆反復： $\tilde{v}_{k+1} = (T - \hat{\lambda}I)^{-1} \tilde{v}_k$
 - 正規化： $\tilde{v}_{k+1} = \tilde{v}_{k+1} / \|\tilde{v}_{k+1}\|$
 - $\hat{\lambda}$ が密集している場合
 - Gram-Schmidt法を用いた直文化
 - これより前に計算した密集固有値に対する固有ベクトルに対し \tilde{v}_{k+1} を直文化
 - 収束判定

密集固有値の判定：グループ化

- 固有ベクトルを直文化する範囲
 - 固有ベクトルに対応する固有値が **指定距離 eps よりも近い範囲内**



Peters-Wilkinson
のグループ分け方式

さらに eps の距離に
固有値を含むとき、
その固有値も
同グループとする

並列逆反復法アルゴリズム [片桐ら, 98]

```
do iter=1, maxiter
  ◦ If (グループ内番号 1 の固有ベクトルを計算中) then
    ◦ PE内でグループ内番号 1 の固有ベクトルを計算 endif
  ◦ If (計算中の固有ベクトルがグループ内番号 1 番の固有ベクトルでない) then
    ◦ If (計算に必要な固有ベクトルが全部自分のPE内にある) then
      ◦ 固有ベクトルの計算 endif
    ◦ If (計算に必要な固有ベクトルが全部PE内にない) then
      ◦ (グループ番号の若い順に) グループ内番号 1 を所有する
        ◦ プロセッサに、現在計算中の固有ベクトルを転送
      ◦ If (修正G-S法) (自PE番号-1) のPEから受信待機；計算；
      ◦ If (古典G-S法) グループ内番号 1 を所有するプロセッサ
        ~ (自PE番号-1) まで受信待機；計算；endif
    ◦ 收束判定；ループ強制終了；endif
enddo
```

```
◦ If (PE内未計算固有ベクトルがない) then
  ◦ If (PEにまだがったグループがある) then
    ◦ 直交化処理のための受信待ち endif endif
```

全固有値が
同一グループ：
直交化以外の
並列性がない！

従来法の問題点

- 固有値が密集（絶対値の差が小さい）
 - 固有ベクトル計算の際、逆反復法中の直交化の計算量が増大
 - 多くの場合、並列化できない
 - プロセッサ台数が増すにつれ、直交化時間の割合が増大
 - 計算時間の90%以上が直交化時間となる
 - 先進的アルゴリズムMRRRでは、直交化処理が不要に！
 - 直交化しない逆反復法の並列性は理論上きわめて高い

|121|

先進的アルゴリズムMRRR：概略

- エルミート行列Aに対する標準固有値問題
 $Ax = \lambda x$
- エルミート行列Aに対する特異値分解
 $A = U \Sigma V^*$
- k 個の固有値と対応する固有ベクトルに対する、計算量とメモリ量： $O(nk)$
- 残差ベクトル精度： $\|Ax - \lambda x\| = O(n\varepsilon)$
- 数値直交性： $O(n\varepsilon)$
- 自明な並列性をもつ

|123|

先進的アルゴリズムMRRR：概略

- 固有値解法の先進アルゴリズム[1997, Parlett]
 - 実数対称三重対角行列用は、LAPACK 3.1 の xSTEGR ルーチンに搭載
 - GR (Holy Graal(聖杯)) の略
- 特徴：
 - 固有ベクトル計算に、従来必須であった直交化処理が不要
 - $\mathcal{O}(N^3) \rightarrow \mathcal{O}(N^2)$ に計算量が劇的削減
 - 特異値分解処理にも適用可能
 - 固有値の密集度合いが相対的に大きいときのみ有効（後述）

|122|

近接する固有値の直交精度

- 目標： $|\nu^T w| = O(n\varepsilon)$
 - λ, μ が異なる固有値のとき
- $\|(T - \lambda I)v\| = O(n\varepsilon)$
- $\|(T - \mu I)w\| = O(n\varepsilon)$
- ところが、一般的には：

$$O\left(\frac{n\varepsilon(\|T\|)}{|\mu - \lambda|}\right)$$

三重対角行列 T
のノルムが入り
目標が達成できない²⁴

|124|

相対差がある時の 固有ベクトル精度

- 2つの固有値が相対的に大きいとき、以下が成立

$$\|(T - \hat{\lambda}I)\hat{v}\| = O(n\varepsilon|\hat{\lambda}|)$$

- 計算する固有ベクトルの直交精度は2つの固有値間に大きな相対的ギャップがあれば、以下の小さな相対角度（目標）が達成：

$$|\sin \angle(\nu, \hat{v})| \leq \frac{\|(T - \hat{\lambda}I)\hat{v}\|}{\text{gap}(\hat{\lambda})} = \frac{O(n\varepsilon|\hat{\lambda}|)}{\text{gap}(\hat{\lambda})}$$

**2つの固有値の
相対差が小さいと
目標を達成**

ただし、 $\text{gap}(\hat{\lambda}) = |\mu - \hat{\lambda}|$
 $\hat{\lambda}$ は μ に最も近い真の固有値である。

ν : 真の固有値
 $\hat{\lambda}$: 計算した
 \hat{v} : 計算した
 固有ベクトル
 固有値

MRRR法の特徴

- 以下の新技術の集大成：

1. T の代わりに LDL^T を使う

Relatively Robust Representation (RRR)

- Differential qd法 (dqds法)
- FP (Fernando-Parlett) ベクトル
- 表現木 (Representation Tree)
- 複数のRRR
(Multiple RRR, MRRR)

|26

Relatively Robust Representation (RRR)

- 分解 $T - \sigma I = LDL^T$ をするととき、 (L, D) は固有値サブセット Γ におけるRRR
- 1. Γ におけるすべての固有値が、それぞれの固有値において相対間隔が大きい
- 2. L と D の要素における小さな相対変動は、 λ における小さな相対変動が生じるのみ

- **問題：** Γ を高い相対精度で計算しないといけない（相対残差が小さくならない）
- **解答：** dqds法で固有値を高い相対精度で計算

従来：絶対差
 MRRR：相対差
 \rightarrow 直交化が必要な間隔が減少

ただし、 $\text{gap}(\hat{\lambda}) = \frac{|\mu - \hat{\lambda}|}{|\hat{\lambda}|}$ で、
 μ は $\hat{\lambda}$ に最も近い真の固有値

Differential qd法 (dqds法)

- 問題： $LDL^T - \sigma I = L_+ D_+ L_+^T$ をするとき
 - 混合相対安定性： (L_+, D_+) に対する (L, D)
 - 相対変動が小さくなるようにせよ
 - 演算コスト： $O(n)$

- 解答： σ を、計算する $\hat{\lambda}$ に近くなるように、かつ、以下の $\text{relgap}(\hat{\lambda})$ が大きくなるように選ぶ：

$$\text{relgap}(\hat{\lambda}) = \frac{\text{gap}(\hat{\lambda})}{|\hat{\lambda}|}$$

従来：絶対差
 MRRR：相対差
 \rightarrow 直交化が必要な間隔が減少

|27

FPベクトルと逆反復法の収束

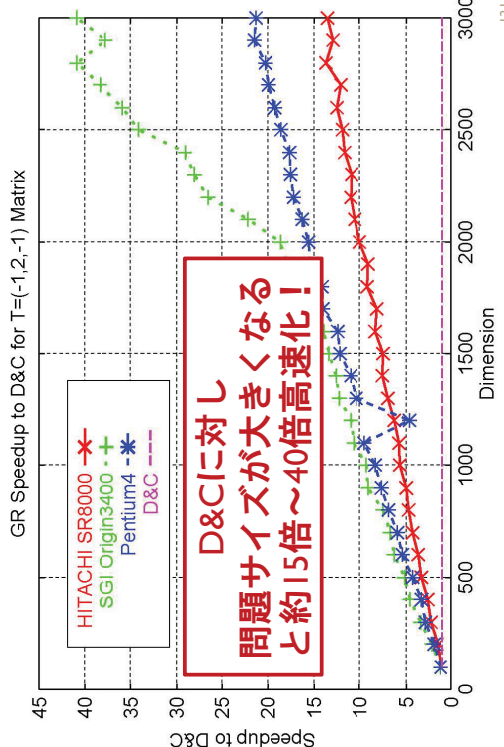
- $\text{relgap}(\hat{\lambda})$ が大きい
→ FPベクトルが小さい相対残差を保障
 - 第 j 固有ベクトルに対するFPベクトル：
 $v_0 = e_j$: 真の固有ベクトルの j 番目に大きな要素
(理論的に計算可能)
 - 上記の初期ベクトルを用いると、
たった1回の逆反復で十分収束
→ FPベクトルはきわめてよい初期ベクトル
 - 固有ベクトル v_1 は安定した演算で得られる
(積と割り算、1回の逆反復処理)
 - 相対的間隔のもとに直交性は保たれる
- MRRRでは、任意の固有ベクトルが直交化なし＆逆反復1回で計算可能

MRRR：今までの手法を集積

- 固有値集合のRRRが与えられる
- A) 大きな相対間隔を持つ固有値群
1. 固有値を相対高精度に求解 (dqr法)
 2. FPベクトルの計算 (固有ベクトル)
- B) 残こりの固有値群
1. その群について、次のシフト値 σ を選ぶ
 2. 新しいRRRを求める (新しい固有値群)
 $L_+ D_+ L_+^T = LDL^T - \sigma I$
3. 固有値を改良 (二分法)
 4. すべて大きな相対間隔の場合は A) へ
そうでないなら、B) 1. へ

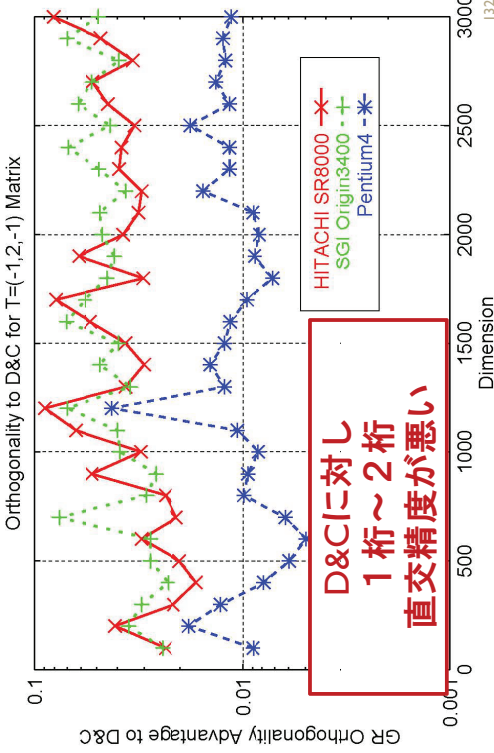
MRRRの典型的な性能：速度

(分割統治法(D&C)に対する速度向上、 $T=(-1, 2, -1)$ 行列)



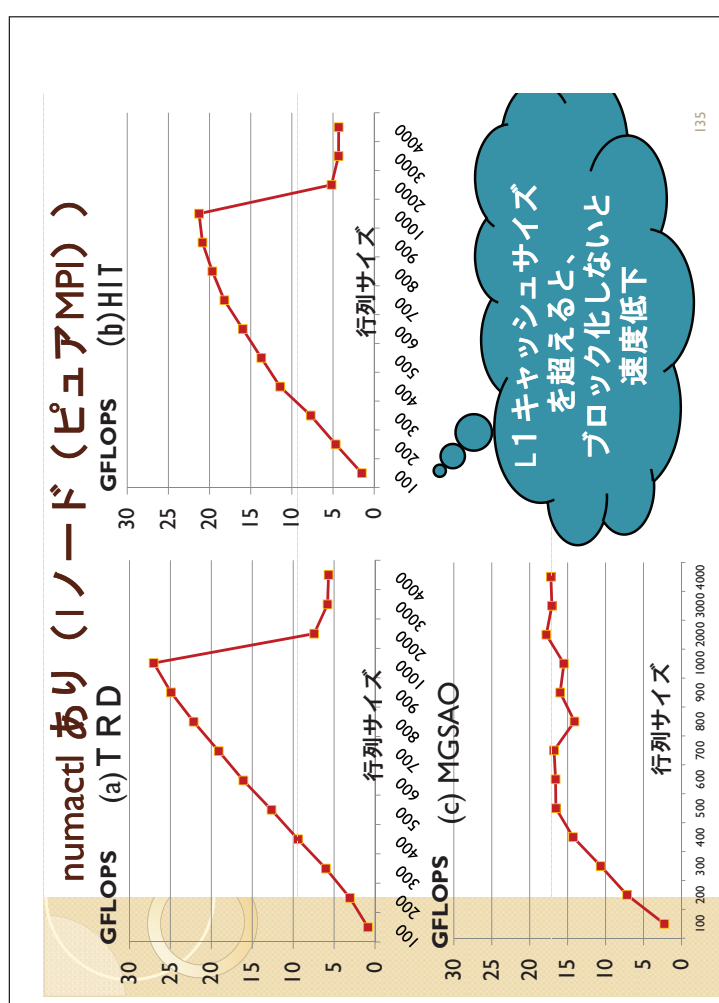
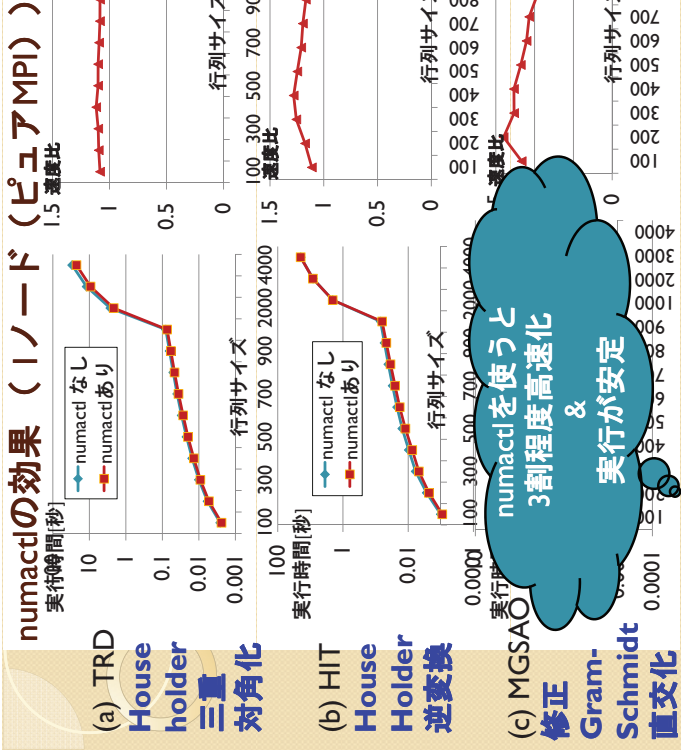
MRRRの典型的な性能：精度

(分割統治法(D&C)に対する精度低下、 $T=(-1, 2, -1)$ 行列)



話の流れ

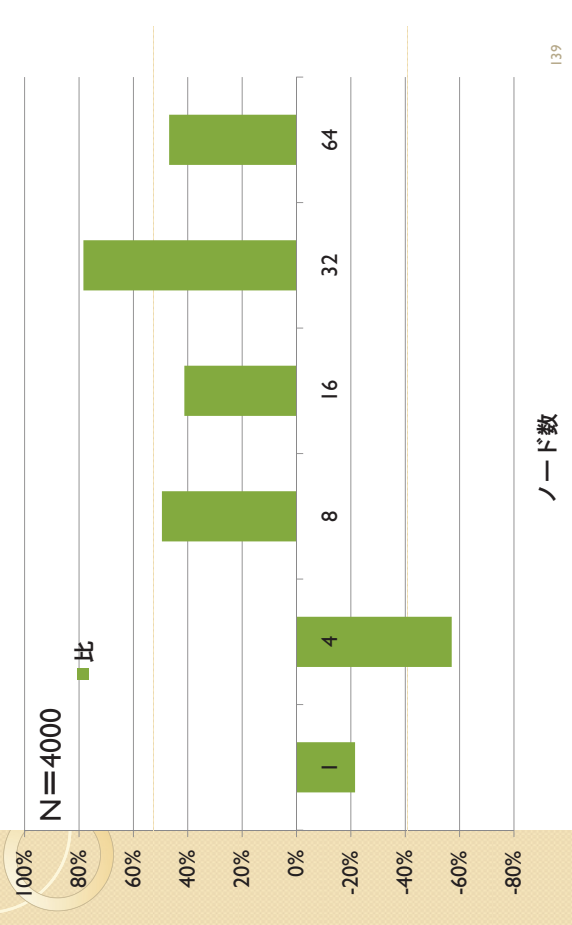
- 背景
 - 第1章：対称実数密行列固有値ソルバ
 - アルゴリズムの説明
 - Householder三重対角化を経由するアルゴリズム
 - 先進的固有値アルゴリズム：MRRR
 - 性能評価
 - 性能評価環境：T2Kオープンスパコン（東大版）
 - ピュアMPI実行 vs ハイブリッド実行
 - 大規模問題実行性能
 - 第2章：自動チューニング（AT）機能の開発
 - 適用方式
 - 性能評価
 - まとめ



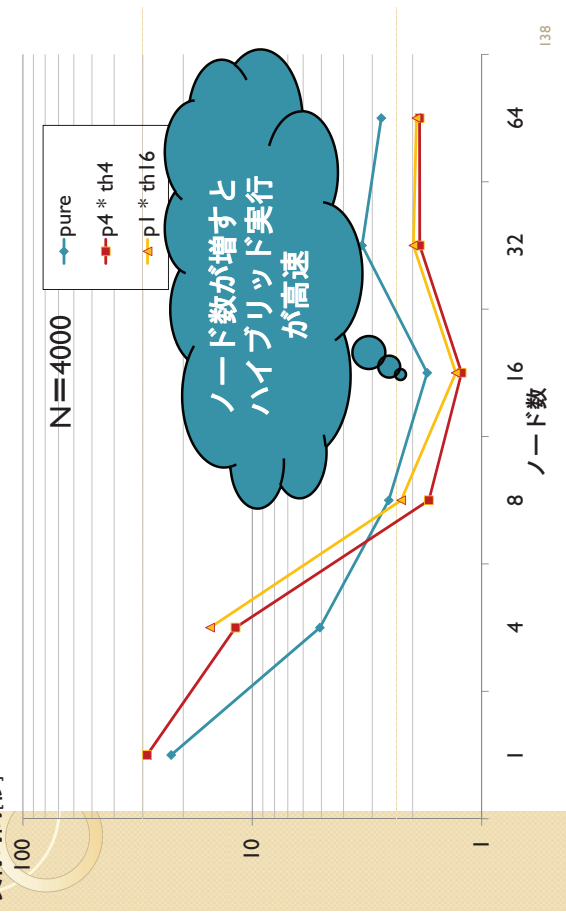
ピュアMPI 対 ハイブリッド MPI

- 計算機アーキテクチャの変化
- マルチコア環境（1チップ内（ソケット内）に複数の計算コアを積む環境）
 - ソケット内の通信速度は、ソケット外の通信速度より高速
- ソケット内はスレッド実行、ソケット外（ノード外）はMPI実行
 - 実行形態が計算機アーキテクチャに合う
 - MPIプロセス数減少により通信時間が削減
 - ccNUMA環境で、ローカルメモリを有効に使える

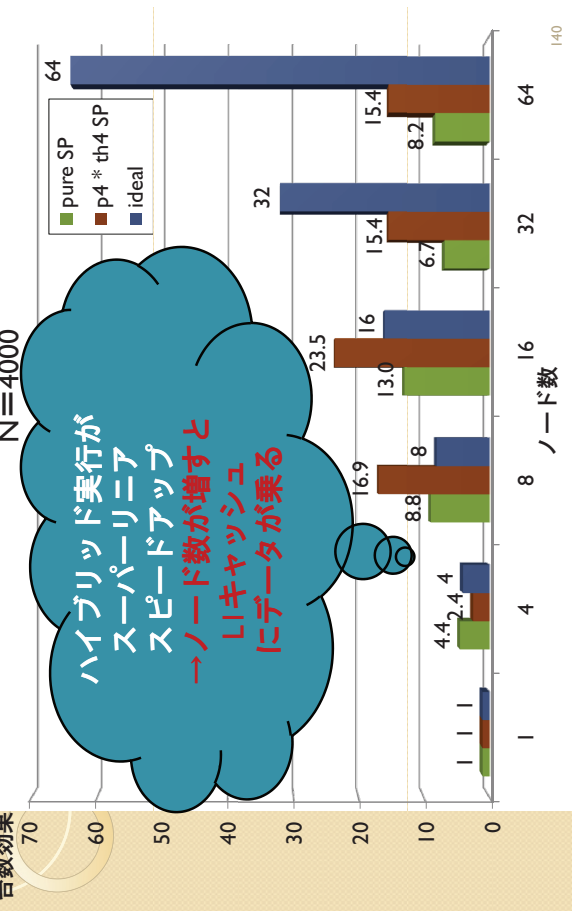
ハイブリッド実行の効果 (三重対角化、T2K 1ノード (16コア))



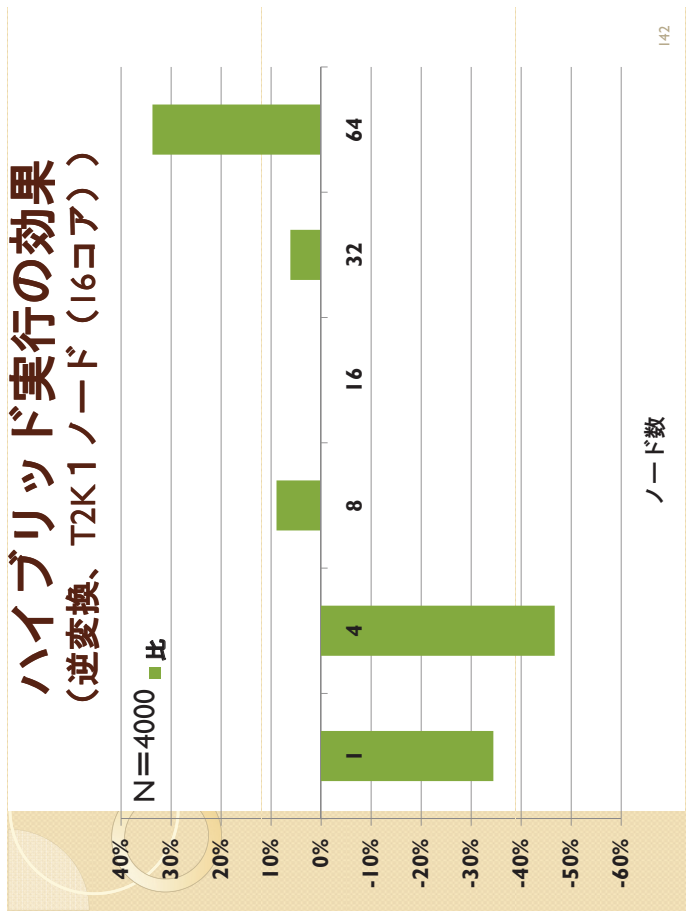
ハイブリッド実行の効果 (三重対角化、T2K 1ノード (16コア))



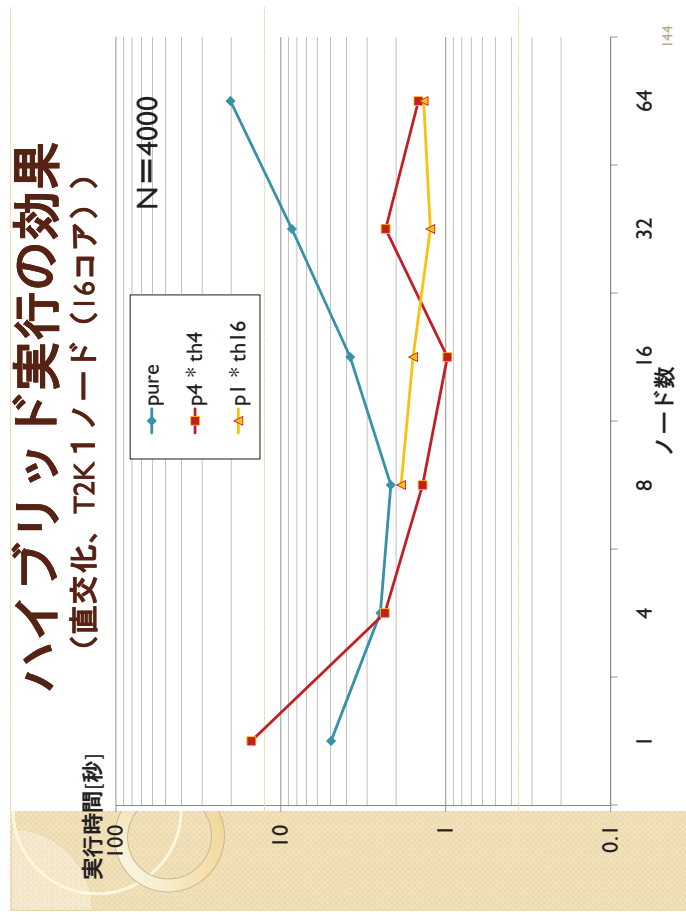
ハイブリッド実行の効果 (三重対角化、T2K 1ノード (16コア))



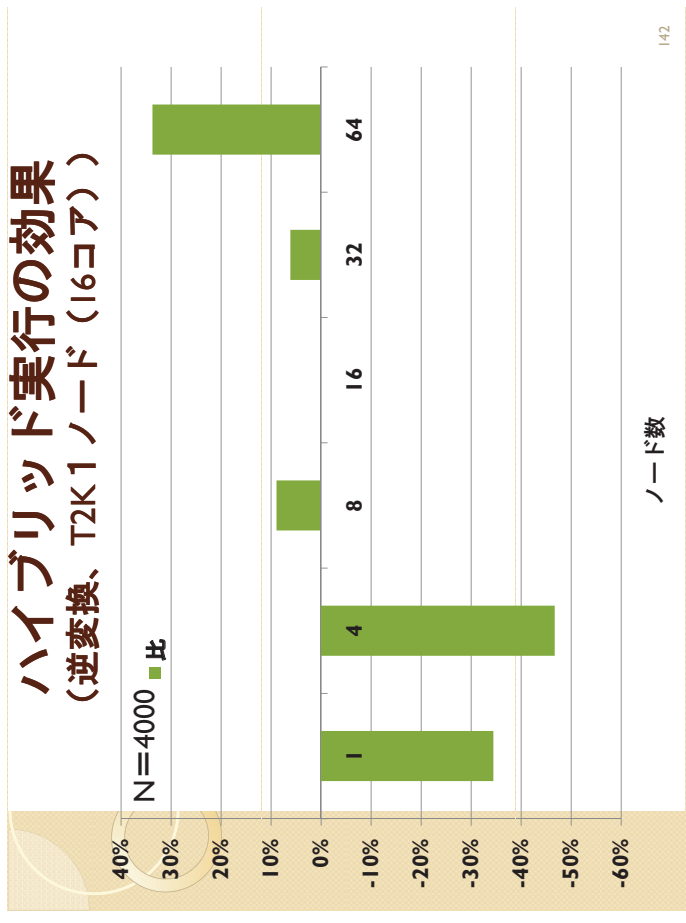
ハイブリッド実行の効果 (逆変換、T2K1 ノード (16コア))



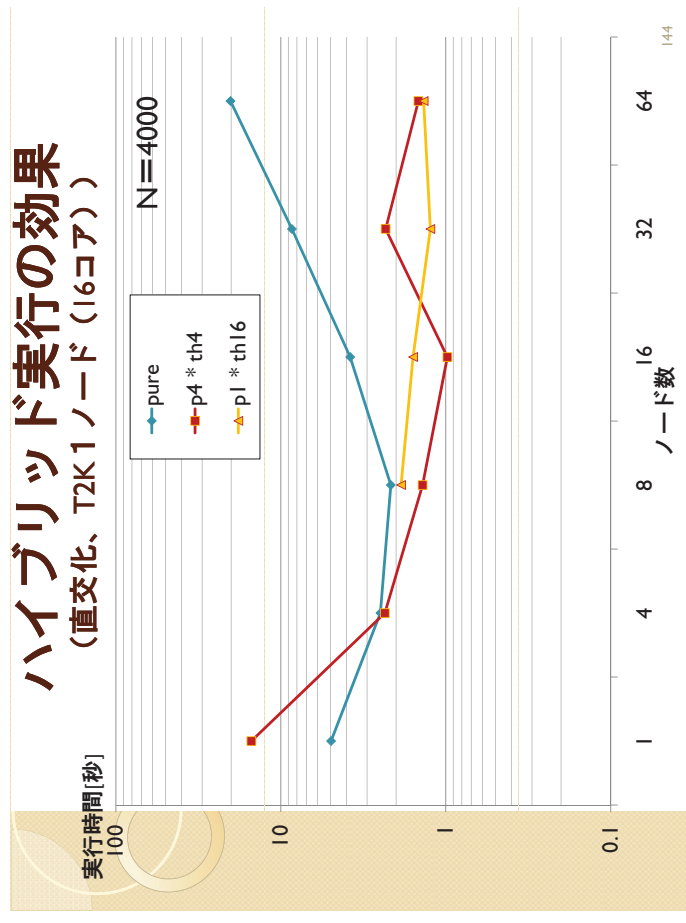
ハイブリッド実行の効果 (逆変換、T2K1 ノード (16コア))



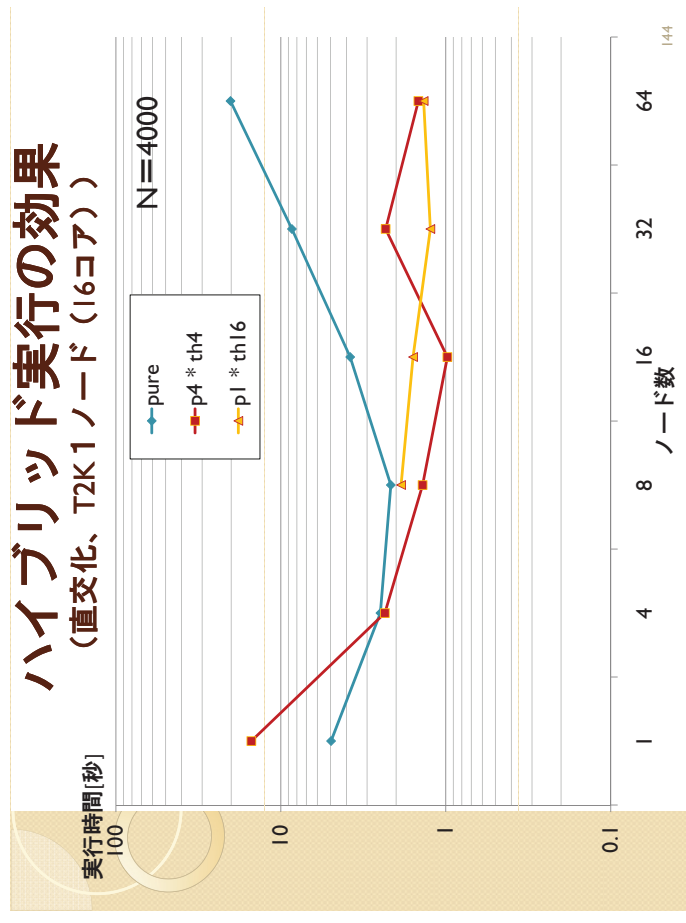
ハイブリッド実行の効果 (逆変換、T2K1 ノード (16コア))



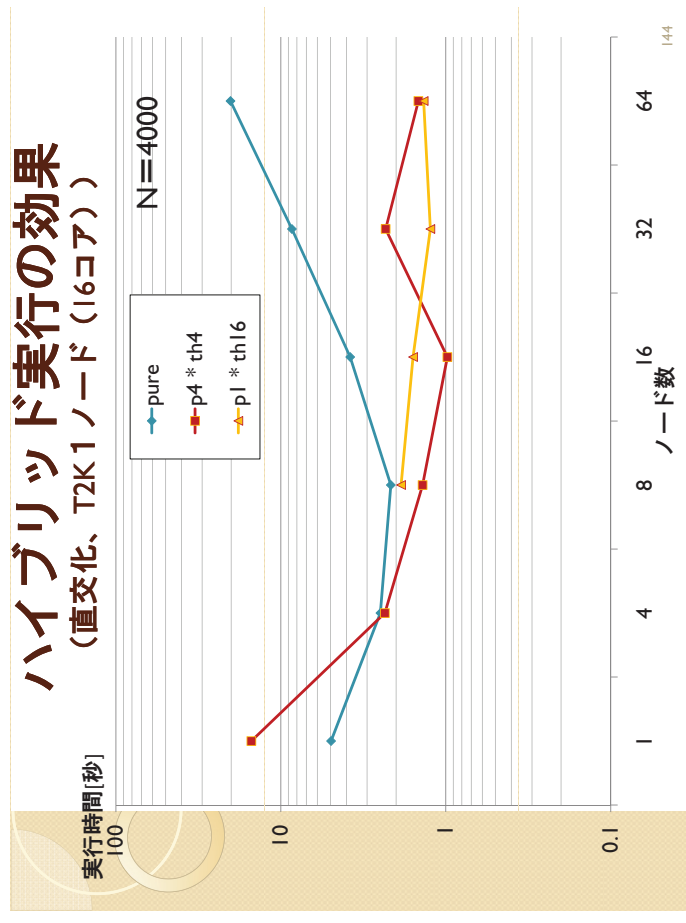
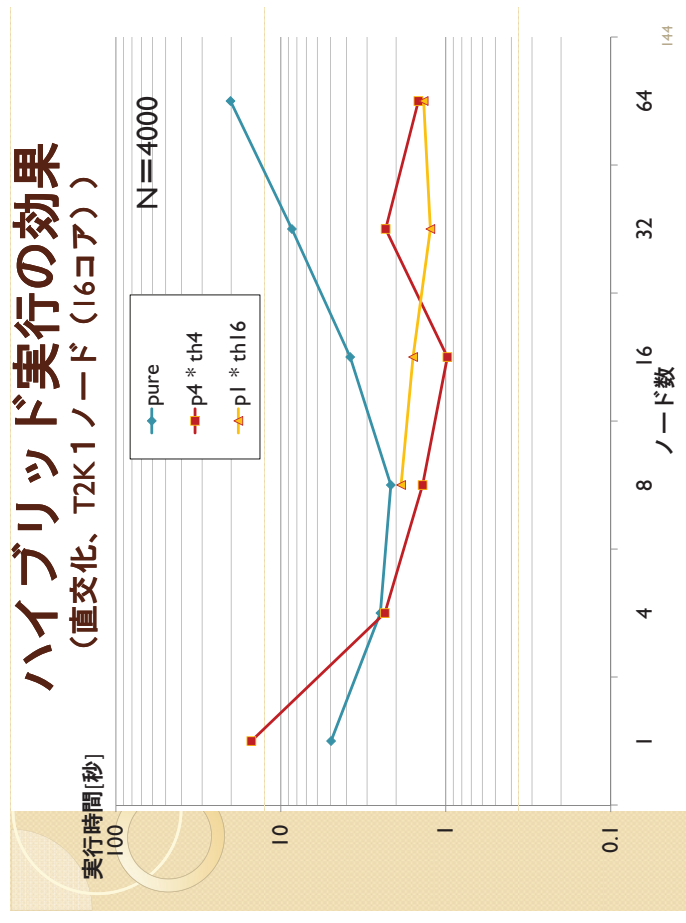
ハイブリッド実行の効果 (直変換、T2K1 ノード (16コア))



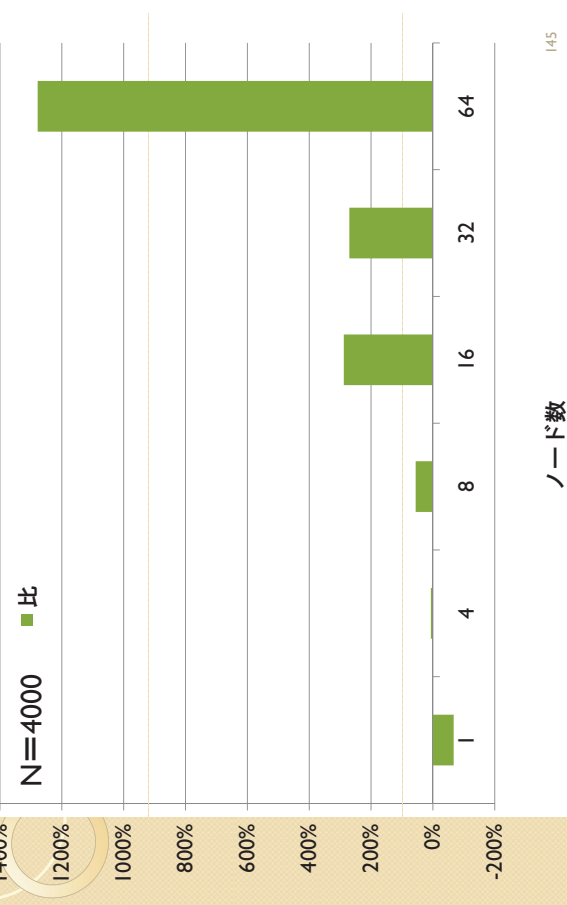
ハイブリッド実行の効果 (直変換、T2K1 ノード (16コア))



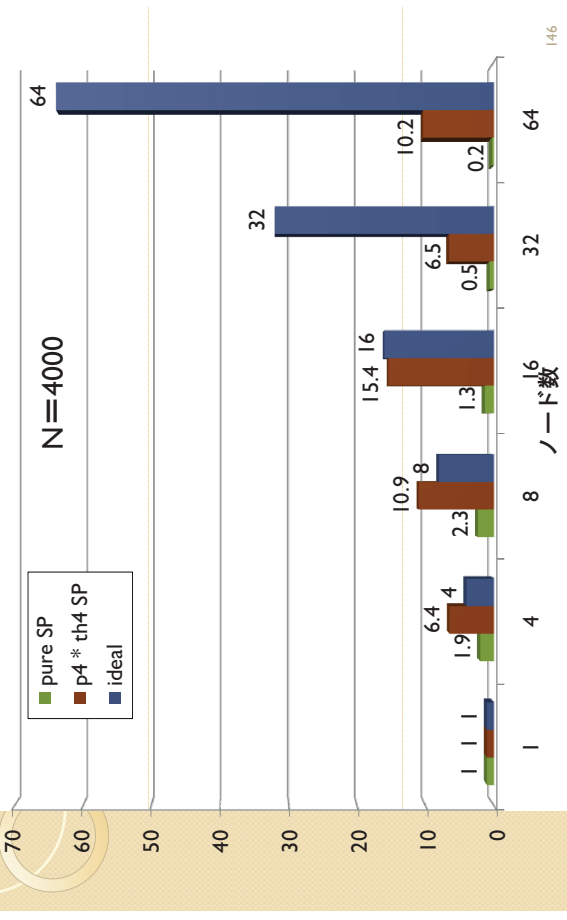
ハイブリッド実行の効果 (直変換、T2K1 ノード (16コア))



ハイブリッド実行の効果 (直交化、T2K1 ノード (16コア))



ハイブリッド実行の効果 (直交化、T2K1 ノード (16コア))



話の流れ

- 背景
- 対称実数密行列固有値ソルバ
 - アルゴリズムの説明
 - Householder三重対角化を経由するアルゴリズム
 - 先進的固有値アルゴリズム：MRRR
- 性能評価
 - 性能評価環境：T2Kオーブンスパコン（東大版）
 - 単体性能評価
 - ピュアMPI実行 vs ハイブリッド実行
 - 大規模問題実行性能

試験行列の説明

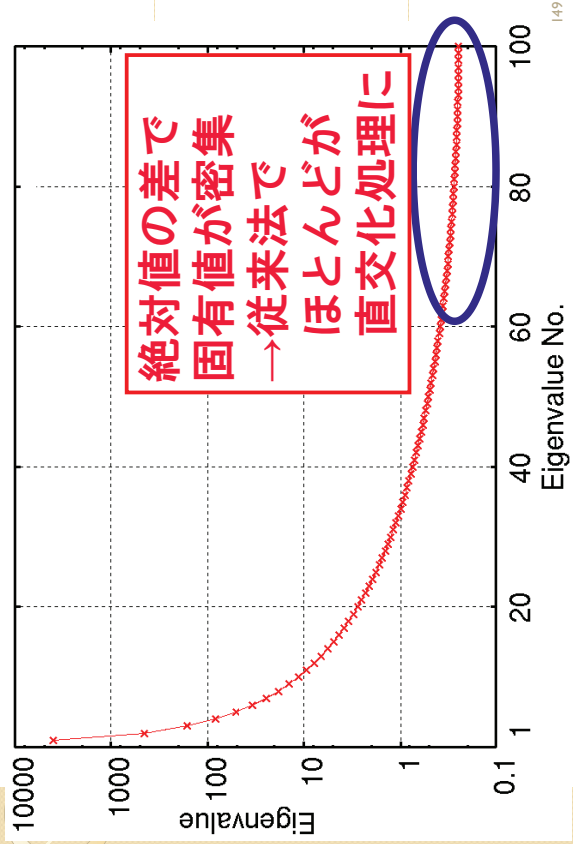
- Frank行列

$$A_n = \begin{bmatrix} n & n-1 & n-2 & \cdots & 1 \\ n-1 & n-1 & n-2 & \cdots & 1 \\ n-2 & n-2 & n-2 & \cdots & 1 \\ \vdots & \vdots & \vdots & \ddots & 1 \\ 1 & 1 & 1 & 1 & 1 \end{bmatrix}$$

この行列の固有値は解析的に求められる

$$\lambda_k = \frac{1}{2(1 - \cos \frac{2k-1}{2n+1}\pi)}, k = 1, 2, \dots, n$$

試験行列の固有値分布



固有値問題の精度検定

1. 固有値の解析解との差の最大値

$$\max_i |\hat{\lambda}_i - \lambda_i|, i = 1, 2, \dots, n$$

$\hat{\lambda}_i$: 計算固有値 λ_i : 解析固有値

2. 固有ベクトルの直交性

$$|X^T X - I|_F,$$

$$|\bullet|_F := \sqrt{\sum_{i,j} \hat{x}_i \hat{x}_j}$$

3. 元の行列の残差ベクトルの最大値

$$\max_i |A\hat{x}_i - \hat{\lambda}_i \hat{x}_i|_2, i = 1, 2, \dots, n$$

149

150

固有値ソルバ実行時間 [逆反復法 (直交化なし)]

(ノード(16コア)、ピュアMP | 實行、Frank行列)

実行時間[秒]

700

600

500

400

300

200

100

0

149

150

151

152

153

154

155

156

157

158

159

160

161

162

163

164

165

166

167

168

169

170

171

172

173

174

175

176

177

178

179

180

181

182

183

184

185

186

187

188

189

190

191

192

193

194

195

196

197

198

199

200

201

202

203

204

205

206

207

208

209

210

211

212

213

214

215

216

217

218

219

220

221

222

223

224

225

226

227

228

229

230

231

232

233

234

235

236

237

238

239

240

241

242

243

244

245

246

247

248

249

250

251

252

253

254

255

256

257

258

259

260

261

262

263

264

265

266

267

268

269

270

271

272

273

274

275

276

277

278

279

280

281

282

283

284

285

286

287

288

289

290

291

292

293

294

295

296

297

298

299

300

301

302

303

304

305

306

307

308

309

310

311

312

313

314

315

316

317

318

319

320

321

322

323

324

325

326

327

328

329

330

331

332

333

334

335

336

337

338

339

340

341

342

343

344

345

346

347

348

349

350

351

352

353

354

355

356

357

358

359

360

361

362

363

364

365

366

367

368

369

370

371

372

373

374

375

376

377

378

379

380

381

382

383

384

385

386

387

388

389

390

391

392

393

394

395

396

397

398

399

400

401

402

403

404

405

406

407

408

409

410

411

412

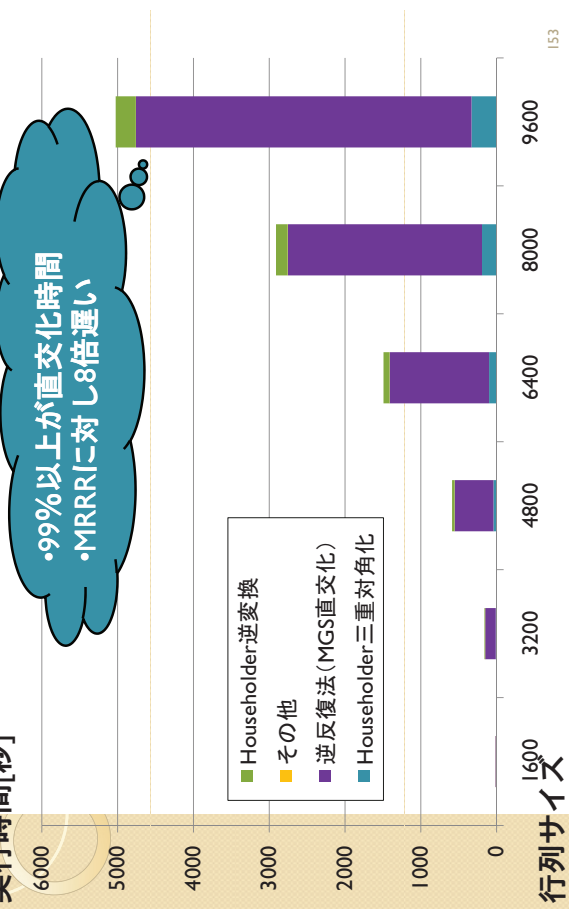
413

414

415

固有値ソルバ実行時間 [逆反復法 (MGS直文化)]

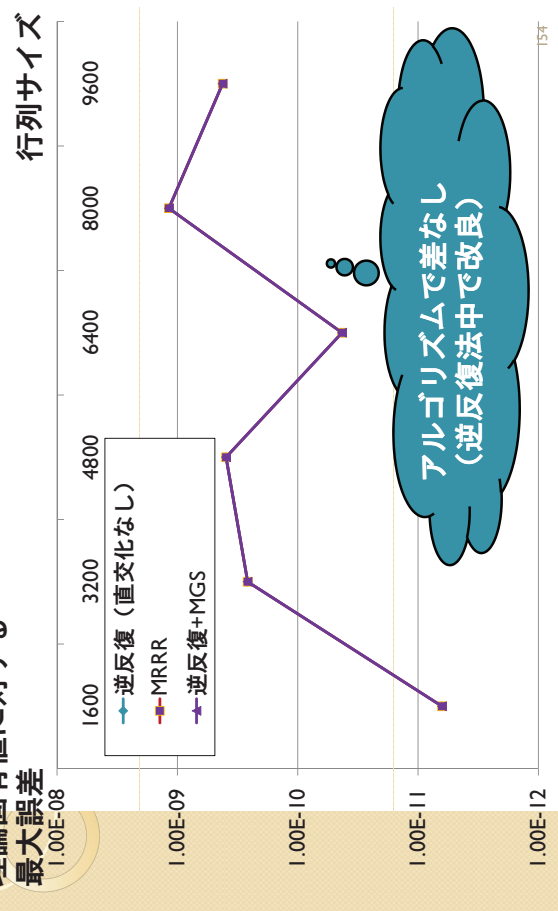
(ノード(16コア)、ピュアMP | 実行、Frank行列)



MRRR法の性能評価：固有値精度

(ノード(16コア)、ピュアMP | 実行、Frank行列)

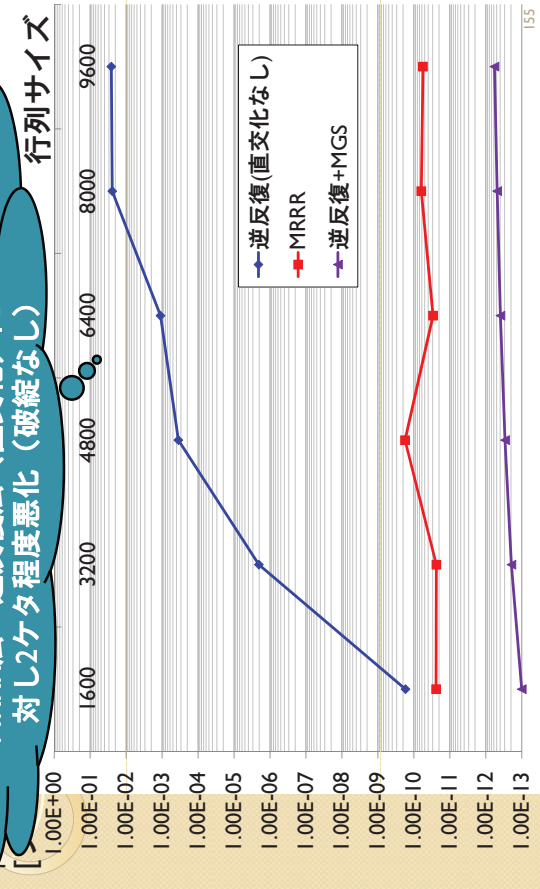
理論固有値に対する
最大誤差



MRRR法の性能評価：直交精度

(ノード(16コア)、ピュアMP | 実行、Frank行列)

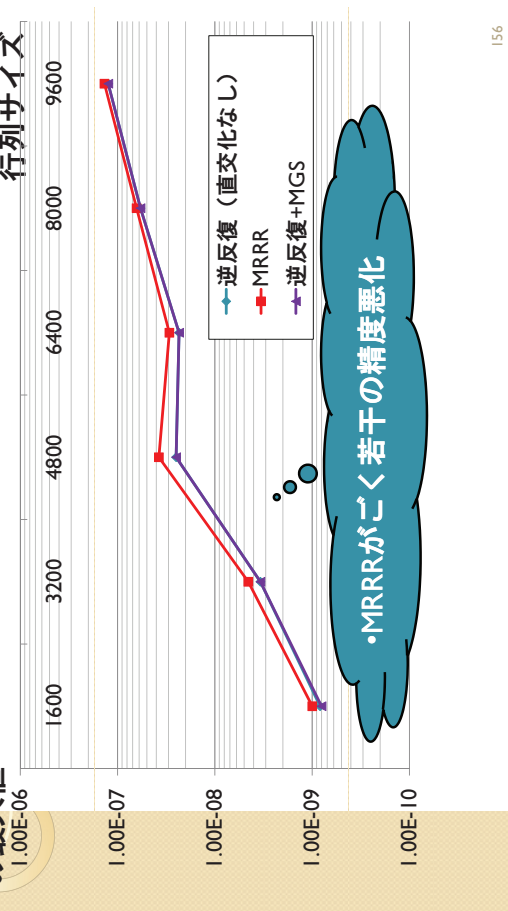
残差ベクトル $\|Ax-\lambda x\|$ [2ノルム]



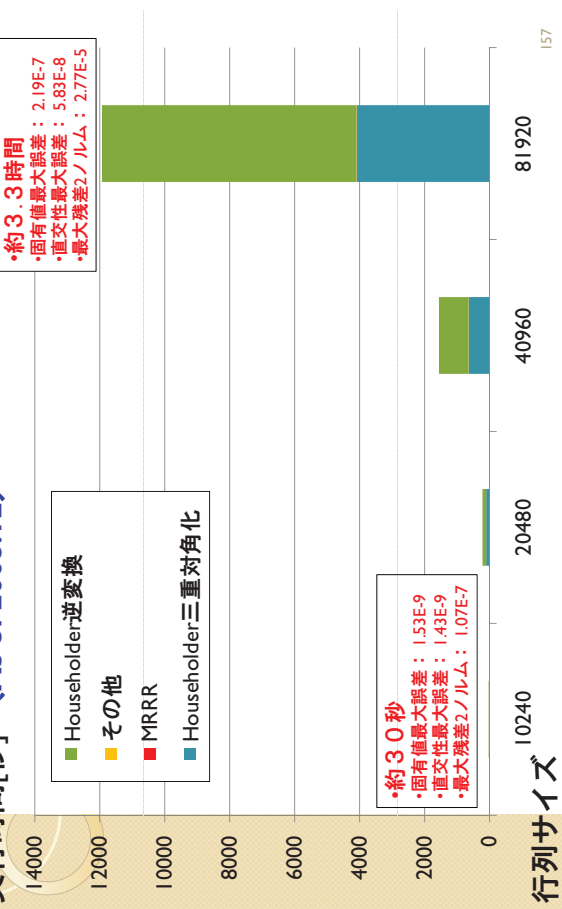
MRRR法の性能評価：残差ベクトル

(ノード(16コア)、ピュアMP | 実行、Frank行列)

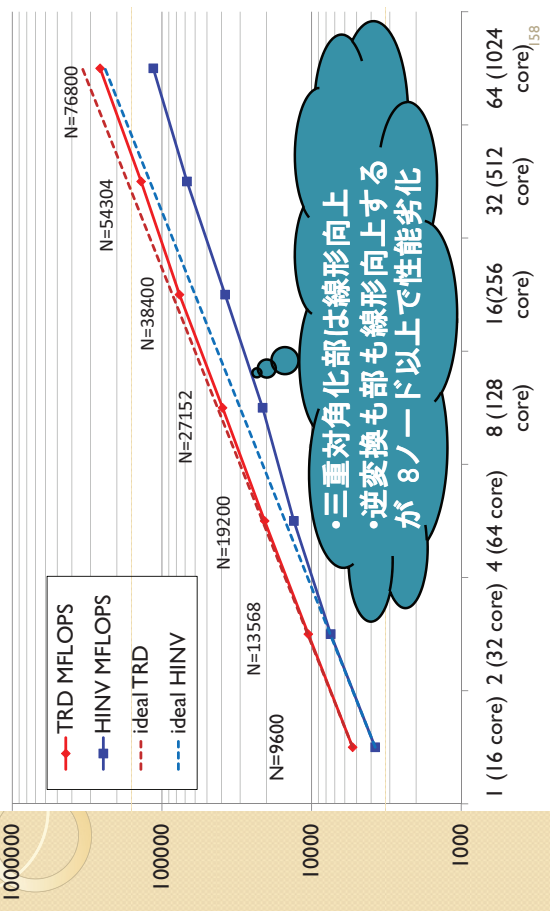
残差ベクトルの最大値



固有値ソルバ大規模問題実行時間 [MRRR] (64ノード(1,024コア)、ピュアMP | 実行、Fr rank行列) 実行時間[秒] (As of 2008.12)



固有値ソルバ台数効果 (weak scaling) (1ノード当たりN=9600、ピュアMP | 実行、Fr rank行列) (As of 2008.12) Weak Scaling



逆変換部分の通信方式改良

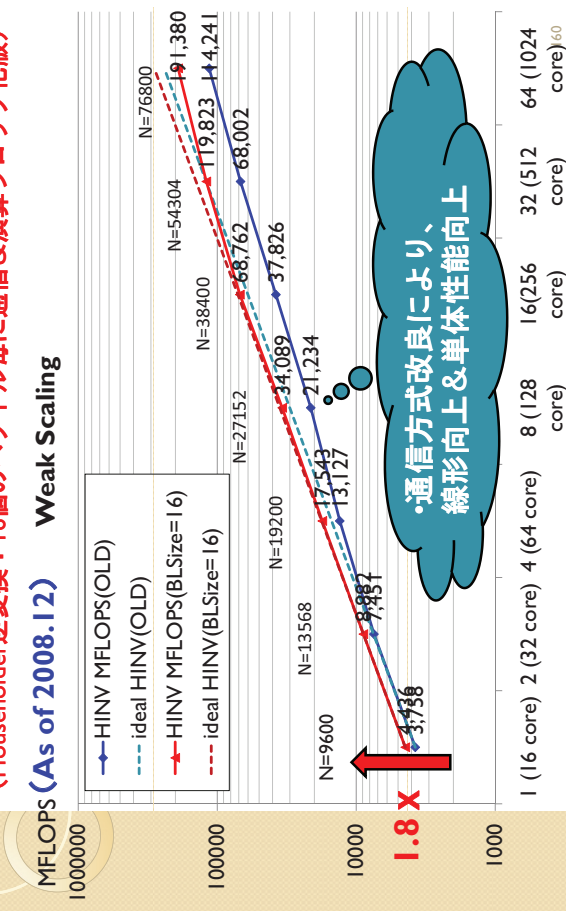
1. 通信プロック化

- 前提：Householder変換ベクトルが2次元サイクリック分散している
- 上記の収集を m 個まとめて集める
- まとめた分を同時に逆変換
- 効果
 - 逆変換処理の時間が増し、通信時間が相対的に削減
→より線形向上
 - 演算力一ホルをアクセスが局所化するよう変更
→単体性能の向上

2. ベクトル長削減

- 必要なベクトル長だけ集めるように改良
→ベクトル長の削減による通信時間削減

固有値ソルバ台数効果 (weak scaling) [MRRR] (1ノード当たりN=9600、ピュアMP | 実行、Fr rank行列) (Householder逆変換 : 16個のベクトル毎に通信&演算ブロック化版) (As of 2008.12) Weak Scaling



逆変換部分の演算性能改良法

- ループ交換によるキャッシュ最適化
 - 前提：通信ベクトル化が実装されており、力一ネルが3重ループ化している
- 変更前
- 変更後

```

do jblk=j, jend-1
  do i=start, nend
    dot(norm, bufM(fb(jblk)), W(l, fi(i)))
    update(W(l, fi(i)), norm, bufM(fb(jblk)))
  enddo
enddo

do i=start, nend
  do jblk=j, jend-1
    dot(norm, bufM(fb(jblk)), W(l, fi(i)))
    update(W(l, fi(i)), norm, bufM(fb(jblk)))
  enddo
enddo
  
```

ベクトル長
($jblk < \eta$), $jblk = l, \eta - 2$
がキャッシュユニットに乗り
と、再利用により
速度向上可能

Householder逆変換実行性能 (weak scaling)

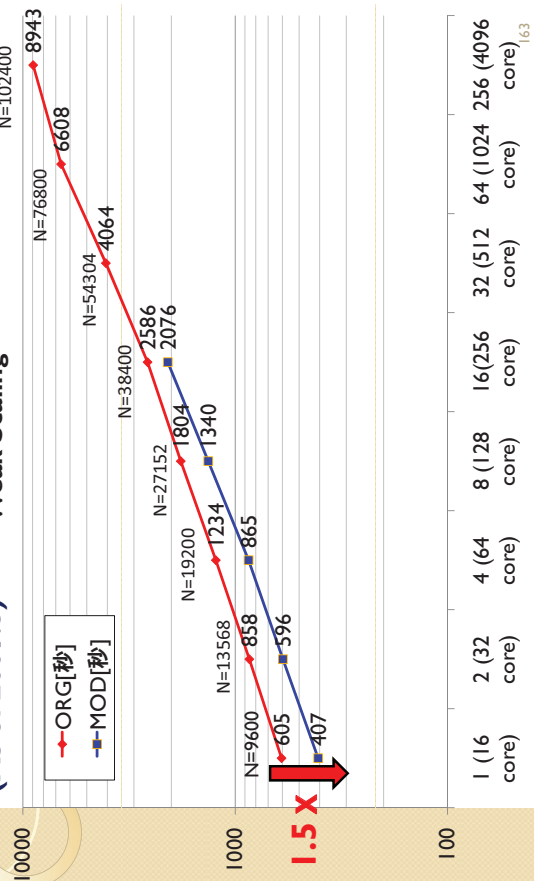
(ノード当たり $N=9600$ 、通信ブロック幅 = 16、ピュア MPI 実行、Rank 行列)



固有値ソルバのまとめ [MRRR]

(ノード当たり $N=9600$ 、ピュア MPI 実行、Rank 行列)

(As of 2009.3) Weak Scaling



残された話題

- マルチコア向きの新アルゴリズム

1. TSQR(Tall Skinny QR) [A. Buttari et al. 2007]

- 部分行列のQR分解が独立に行える
- 全体のQR分解が、2分木形態の通信で完成
(小行列の行列 - 行列積のみで構築可能)

→高い並列性とマルチコアのキャッシュ階層に合う演算パターン

$$A = \begin{pmatrix} A_0 \\ A_1 \\ A_2 \\ A_3 \end{pmatrix} = \begin{pmatrix} Q_{00}R_{00} \\ Q_{10}R_{10} \\ Q_{20}R_{20} \\ Q_{30}R_{30} \end{pmatrix} = \begin{pmatrix} Q_{00} & R_{00} \\ Q_{10} & R_{10} \\ Q_{20} & R_{20} \\ Q_{30} & R_{30} \end{pmatrix} = \begin{pmatrix} Q_{01}R_{01} \\ Q_{11}R_{11} \end{pmatrix}$$

165

残された話題

- マルチコア向きの新アルゴリズム

2. 帯行列を経由するHouseholder変換による固有値ソルバ[今村ら、2008]

- Householder三重対角化を帯行列で止める
- 帯行列の全固有値・全固有ベクトルを分割統治法で求解

→三重対角化部の通信量削減による並列化効率向上

- ブロック化によりT2Kでピーカク性能比30%超を達成
- 事前評価として、三重対角化におけるブロック化版を実装
- 8万次元：64ノード実行で20分弱で終わる

今村俊幸：マルチコア環境における固有値ソルバ、計算工学講演会論文集、
Vol.14、pp.171-174 (2009年5月)
166